

UNIVERSIDAD NACIONAL AUTONOMA DE MEXICO

FACULTAD DE QUIMICA

**Aplicación de la Resonancia Magnética Nuclear
al Control Químico Industrial y Farmacéutico
de Compuestos Orgánicos.**

T E S I S

QUE PARA OBTENER EL TITULO DE

QUIMICO FARMACEUTICO BIOLOGO

P R E S E N T A

MA. DEL CARMEN PONCIANO RODRIGUEZ

MEXICO, D. F.

1971



UNAM – Dirección General de Bibliotecas

Tesis Digitales
Restricciones de uso

DERECHOS RESERVADOS ©
PROHIBIDA SU REPRODUCCIÓN TOTAL O PARCIAL

Todo el material contenido en esta tesis está protegido por la Ley Federal del Derecho de Autor (LFDA) de los Estados Unidos Mexicanos (México).

El uso de imágenes, fragmentos de videos, y demás material que sea objeto de protección de los derechos de autor, será exclusivamente para fines educativos e informativos y deberá citar la fuente donde la obtuvo mencionando el autor o autores. Cualquier uso distinto como el lucro, reproducción, edición o modificación, será perseguido y sancionado por el respectivo titular de los Derechos de Autor.

JURADO:

PRESIDENTE	FRANCISCO SANCHEZ VIESCA.
VOCAL	ANGEL GUZMAN SANCHEZ.
SECRETARIO	LUIS MIRAMONTES CARDENAS.
1er SUPLENTE	ELVIRA SANTOS SANTOS DE FLORES.
2do SUPLENTE	GLORIA PEREZ CENDEJAS.

SITIO DONDE SE DESARROLLO EL TEMA

FACULTAD DE QUIMICA

BIBLIOTECA.

SUSTENTANTE	MARIA DEL CARMEN PONCIANO RODRIGUEZ
ASESOR DEL TEMA	DR. ANGEL GUZMAN SANCHEZ.

COMO MUESTRA DE CARIÑO.

Y

GRATITUD

A MIS PÁDRES.

Con todo mi agradecimiento al Dr.,
Angel Guzmán Sánchez, por su ayuda
y orientación incondicional en todo
momento.

A MIS MAESTROS.

A TODOS MIS COMPAÑEROS.

INDICE

INTRODUCCION	3-15	Pág. 1-2
PARTE TEORICA		
APLICACIONES		
APLICACION AL ANALISIS DE POLIMEROS	16-36	
APLICACION A LA DETERMINACION DE DIAGRAMAS DE EQUILIBRIO	37-46	
APLICACION A LA DETERMINACION DE ELEMENTOS	47-63	
OTRAS APLICACIONES	64-81	
CONCLUSIONES	82-100	
BIBLIOGRAFIA	101	
	102-105	

INTRODUCCION.

Los usos más frecuentes de la resonancia magnética nuclear, han sido con el fin cualitativo de identificar protones con un contorno químico determinado, empleando las integrales del área de una señal determinada, para establecer cuántos protones de un tipo hay en una molécula estudiada. Por otra parte, también es posible usar la RMN como arma analítica cuantitativa, siempre que el espectro que en el espectro de una mezcla sea posible identificar grupos de protones asignables a todos menos uno de los componentes de la misma, ya que la cantidad del último componente puede ser obtenido por diferencia.

Es importante hacer notar que la RMN determina un cierto número de protones, que representan las moléculas de una mezcla. Consecuentemente, los datos obtenibles estarán en unidades de fracción de mol. Si se desean evaluaciones en tanto por ciento de peso, es necesario colocar una cantidad exactamente pesada de la mezcla por analizar y agregar una cantidad conocida de una substancia que sirva como patrón de referencia.

Además de que la mezcla por analizar debe ser soluble en un disolvente elegido, el otro requisito es que los desplazamientos químicos de algunos de los protones de cada componente de la mezcla (y del patrón), sean tales, que no se sobrepongan dos señales usadas en el cuantoo, y que en consecuencia, las integraciones puedan efectuarse adecuadamente.

Por otra parte, en el análisis cuantitativo de mezclas, por medio de la RMN no se requiere conocer los espectros de los compuestos puros, ya que como se ha dicho, basta identificar grupos de protones de cada componente. Otras ventajas que ofrece el análisis por RMN es que con la aplicación del método, no se consumen las substancias-

que se han de analizar, pues éstas pueden ser recuperadas después de la determinación del espectro correspondiente.

Finalmente, éste método supera a otros métodos espectrométricos y espectroscópicos, por el hecho de que no es necesario conocer el coeficiente de extensión molar, que en este caso es constante e independiente del contorno químico en el cual se encuentren los protones de que se trate.

Como podemos deducir las aplicaciones de dicho método van desde determinaciones cuantitativas de isómeros cis y trans, mezclas isoméricas y racémicas, determinación de curvas de equilibrio, aplicaciones industriales, aplicaciones farmacéuticas, etc. Obteniéndose en todos los casos resultados comparables con los valores teóricos.

PARTE TEÓRICA:

Dentro de las propiedades de los núcleos, podemos señalar dos grupos, que son : propiedades mecánicas y propiedades eléctricas.

a) Propiedades Mecánicas.- En éste grupo tenemos el momento angular y el spin nuclear, ambos tienen influencia en el fenómeno de RMN. El momento angular se puede definir como el que es debido al movimiento traslacional que tienen las partículas (núcleos) respecto a un punto dado, y el cual es originado por el movimiento rotacional que tiene todo cuerpo.

El movimiento rotacional de la molécula, en especial de los núcleos pertenecientes a ella, en un eje imaginario, se conoce como spin nuclear (I), dicho spin varía dependiendo de las características de masa-carga de los átomos, como se observa en la Tabla I.

Tabla I. Propiedades de los núcleos.

Número de masa	Número atómico	Número de spin(I)
ímpar.	par ó ímpar	$\frac{1}{2}, \frac{3}{2}, \frac{5}{2}$
par	par	0
para	ímpar	1,2,3

b) Propiedades Eléctricas.- De las propiedades eléctricas de los núcleos, las siguientes tienen influencia en la RMN :

1)Carga eléctrica del núcleo.

2)Momento magnético, ocasionado por el movimiento de la carga de un ncleo(M).

c) Momento Eléctrico Cuadrupolar.- Se refiere a la distribución de la carga en un núcleo, dependiendo de la superficie del mismo.

Para que exista el fenómeno de resonancia magnética en un núcleo, es requisito indispensable que éste tenga spin nuclear, y como resultado de éste que posea momento magnético, además es necesario someter a éste núcleo a la presencia de un campo magnético en el cual se efectúan los siguientes dos fenómenos:

1.) Orientación en el campo, que es el número posible de orientaciones, el cual será igual a $2I + 1$, donde $I =$ al número de spin nuclear.

Para cada orientación, corresponde una energía potencial determinada que se encuentra dada por la siguiente ecuación :

$$\frac{E}{p} = H_0 \cos \vartheta$$

Donde H_0 = Intensidad del campo magnético.

ϑ = Ángulo formado por cada una de las orientaciones respecto al campo magnético.

2.) Movimiento precesional.- Tenemos que los núcleos con una orientación dada por efecto de su momento angular, tienden a disminuir el Ángulo ϑ y a orientarse paralelamente al campo magnético, ésto no se lleva a cabo debido a que existe el movimiento precesional, como se ilustra en la Fig. 1.

Además tenemos que la velocidad precesional es proporcional al campo magnético y se encuentra representada por la siguiente expresión :

$$V_0 = H_0$$

Como experimentalmente H_0 varía, se tienen diferentes velocidades -

de precesión, independientemente de ésto, hay que hacer notar que existe un equilibrio dinámico entre las diferentes orientaciones de un núcleo. Este equilibrio se ve regido por la ecuación de Boltzmann, la cual aplicada al caso particular del hidrógeno queda expresada de la siguiente forma:

$$\frac{N + \frac{1}{2}}{N - \frac{1}{2}} \approx e^{-\frac{2\mu H_0}{kT}} = 1.000006^{11}$$

¹¹ La diferencia entre ésta cantidad y la unidad, ó sea el ~~exceso~~ de núcleos en una orientación, es la que realmente registra el aparato de RM.

Ento lo podemos explicar de la siguiente manera. Si tenemos un protón en un campo magnético estático externo, éste puede asumir solamente dos orientaciones en dicho campo, las cuales corresponden a una energía que es igual a $\pm \mu H_0$. Dentro de las dos orientaciones, la de baja energía, corresponde a aquel estado en el cual el momento magnético nuclear esté alineado paralelamente al campo magnético externo, y la orientación de alta energía corresponde al estado en el cual el momento magnético nuclear esté alineado antiparalelamente a dicho campo.

Es posible inducir transiciones entre éstos dos estados de orientación, siendo ν la frecuencia de la radiación electromagnética necesaria para cada transición y quedando expresada por:

$$\nu = 2\mu H_0 / h$$

Donde H_0 es la fuerza del campo magnético externo.

La frecuencia precesional de un n\'cleo girando, es exactamente igual a la frecuencia de la radiaci\'on electromagn\'tica necesaria para inducir una transici\'n de un giro nuclear a otro.

La transici\'n nuclear corresponde a un cambio en el \'ngulo que el eje del im\'n nuclear forma con el campo magn\'tico aplicado, \'ste cambio puede ser roto antes a trav\'s de la aplicaci\'n de la radiaci\'on electromagn\'tica, cuyo vector magn\'tico que lo compone se encuentra rotando en un plano perpendicular al campo magn\'tico principal.

Cuando la frecuencia del campo magn\'tico de rotaci\'n y la frecuencia precesional del n\'cleo es igual, se dice que est\' en resonancia; y la absorci\'n & emisi\'n de energ\'a por medio del n\'cleo puede entonces tener lugar, por lo tanto la resonancia nuclear puede ocurrir cuando un n\'cleo ($I > 0$) es puesto en un campo magn\'tico estable y es adem\'s sometido a una radiaci\'on electromagn\'tica de una frecuencia apropiada.

La teor\'a de la radiaci\'on magn\'tica nos indica que la probabilidad de una transici\'n hacia arriba en un campo magn\'tico por absorci\'n de energ\'a, es exactamente igual a la probabilidad que existe de un estado de transici\'n hacia abajo por un proceso estimulado por el campo. Adem\'s de lo anterior, la teor\'a nos muestra que una transici\'n espont\'nea de un estado de alta energ\'a a un estado de baja energ\'a es posible en la regi\'n de radio frecuencias.

Por lo tanto si los dos estados de giro son posibles en un conjunto de n\'cleos

en los cuales la población es exactamente igual, la posibilidad de un estado de transición elevado, sería exactamente igual que la transición a baja energía, y por la tanto podría haber un efecto de resonancia nuclear no observable.

Sin embargo bajo condiciones ordinarias en un campo magnético, hay un ligero exceso de núcleos en el estado de baja energía (baja energía de orientación), en el cual ellos toman una distribución de Boltzmann, que en condiciones normales posee un valor de 0.001 %, que - aunque es un valor demasiado pequeño, nos da el exceso finito de núcleos en un estado de bajo nivel de energía en la región de radio frecuencia, sin este pequeño exceso de núcleos, no habría fenómeno de RFI.

Como el conjunto de núcleos frecuentemente absorbe radiación en la región de radio frecuencia, el exceso de núcleos que estaban originalmente en un bajo estado puede disminuir, de acuerdo con esto la intensidad de absorción puede disminuir y puede bajo ciertas circunstancias desaparecer enteramente. Tal fenómeno se conoce como saturación, al cual se define como sigue: es el fenómeno en el cual la población de núcleos en los dos estados de spines se iguala.

Como no existe un mecanismo para que el núcleo en un estado de alta energía pueda retornar a uno de baja energía, transcurre un periodo de tiempo para que el exceso inicial de núcleos en estado de baja energía pueda volver a su estado inicial. La transición por medio la cual un núcleo en estado de alto giro retorna a uno de bajo giro, se conoce como relajación o proceso de relajación, existiendo dos tipos de ellos, que son : relajación spin - spin y relajación red - spin, la pri-

mera de ellas se efectúa por medio del cambio mutuo de giro de dos núcleos en estado de precesión y los cuales se encuentran muy cercanos uno del otro.

Asociado con cada núcleo precessando hay un componente del vector magnético rotando en un plano perpendicular al campo principal, si dos nucleos se encuentran muy próximos, éste pequeño campo de rotación magnético es el que se requiere para inducir una transición con el núcleo vecino. Por lo tanto este mutuo cambio de giros; (relajación spin-spin) acorta el tiempo de vida del núcleo individual en un alto estado de giro, lo cual no contribuye al mantenimiento del exceso de núcleos requeridos en un bajo estado de giro.

En cuanto al término red ó enrejado, se refiere a las estructuras de las moléculas (de disolventes simples, líquidos, gases ó sólidos) que contienen un núcleo en estado de precesión, todas éstas moléculas poseen un movimiento de translación, rotación y vibración, que tienen propiedades magnéticas, por lo tanto en la red se encuentran una variedad de pequeños campos magnéticos.

En el enrejado existe un pequeño campo magnético particular propiamente orientado, en el cual se puede inducir a la transición en un imán magnético nuclear con precesión particular de un estado de alta energía a uno de baja energía.

La energía de esta transición es transmitida al componente del enrejado como energía translacional, vibracional y rotacional adicional.

No obstante la energía total del sistema permanece inalterable, así un núcleo puede ser regresado de un estado de alta energía a uno de bajo nivel, dada procesos mantienen el exceso de núcleos necesarios en un estado de baja energía, condición indispensable para la observación del fenómeno de REN.

De acuerdo con lo anterior podemos decir que en cuanto a las líneas espectrales, la amplitud de las mismas es inversamente proporcional al promedio del tiempo empleado en el sistema en el estado excitado.

Así podemos observar señales agudas cuando existe un estado de excitación prolongado, en cambio las líneas anchas corresponden a los estados de excitación breves. La influencia de los procesos de relajación spin-spin y red-spin, por lo tanto en la amplitud de las líneas espectrales varía de acuerdo con la velocidad de relajación spin-spin y red-spin.

En el caso que presentan los sólidos se encuentran muy restringidos, por lo tanto las relajaciones entrejado-spin se presentan con poca frecuencia, de acuerdo con esto la mayoría de los líquidos presentan viscosidad más larga. En otros términos los sólidos y líquidos entrejado-spin usualmente presentan un tiempo de relajación entrejado-spin más largo, obteniéndose en su interior los núcleos convenientemente orientados en un bajo estado de giro, el cual puede cambiarse a un estado de alto giro, consiguientemente por lo tanto líneas espectrales anchas.

Existen factores adicionales que influyen también en la amplitud de las líneas espectrales como son los ensanchamientos paramagnéticos resultantes de la presencia de moléculas paramagnéticas como el oxígeno disuelto en la muestra ó también la presencia de iones presentes en la misma, teniendo como resultado que los tiempos de relajación spin - enrejado se reducen grandemente, por lo tanto es recomendable liberar a la muestra por analizar del oxígeno que pudiera tener.

La posición de la frecuencia de resonancia de un protón con respecto a una línea escogida arbitrariamente se conoce como desplazamiento químico.

Existen en la RMN fenómenos llamados de protección, que se encuentran asociados con la densidad electrónica que rodea al núcleo tomado en consideración, ó con la corriente electrónica en la cual se encuentra el núcleo, así tenemos protección debida a los electrones que se encuentran inmediatos al núcleo y protecciones a larga distancia.

En las protecciones por densidad electrónica y la forma como afecta a los protones, se debe al aumento ó disminución de la electronegatividad de los grupos próximos al protón considerado. Mientras más electronegativo sea un grupo vecino, el protón presentará su resonancia en un campo menor.

Dentro de las protecciones por densidad electrónica, tenemos dos casos diferentes, la debida a corrientes diamagnéticas locales que son corrientes electrónicas de circulación opuesta al campo magnético principal, con lo cual se reduce el campo real experimentado por los núcleos, se dice que ésta protección es posi-

va, debido a que las señales aparecen en campos más altos.

El otro tipo de protección, se conoce como protección paramagnética, la cual depende de la orientación de grupo dado, respecto al campo magnético. Las circulaciones paramagnéticas alrededor de un núcleo producen un campo magnético secundario, paralelo, y en el mismo sentido que el campo magnético principal, con lo que la protección del núcleo disminuye, ya que soporta ambas intensidades, y la señal de resonancia aparece a campo más bajo.

En la protección a larga distancia tenemos que cierto tipo de estructuras, hacen posible la circulación de electrones a través de un número relativamente grande de centros atómicos y entonces se tiene la protección a larga distancia. Este tipo de corrientes diamagnéticas son generadas de átomo a átomo, y se desarrollan fácilmente en curvas amplias cerradas, como en el caso de los orbitales ii del benceno.

Los tres mecanismos de protección son el resultado de corrientes inducidas, que son proporcionales al campo magnético aplicado.

Por lo tanto podemos obtener una importante conclusión derivada directamente de la experiencia antes mencionada, y que es : "La frecuencia del desplazamiento químico es directamente proporcional a la fuerza del campo aplicado."

En un campo magnético fuerte, se podrán observar bandas para cada grupo de protones e uivalentes. Como el mismo tipo de transición la experimentan cada uno de los protones, la intensidad de una banda, dada por el área bajo la curva, será proporcional al número de protones de cada grupo.

Para medir los desplazamientos quíMICOS, existen substancias que se toman como estándares de referen-

cía, y puede ser ésta referencia externa o interna, externa cuando se encuentra separada de la solución por analizar o interna - cuando se encuentra en la misma solución que la substancia cuyo espectro se desea .

El compuesto más comúnmente conocido y usado en éstas determinaciones es el TMS, por sus propiedades, por ejemplo, el ser químicamente inerte y que no puede eliminarse con facilidad después de determinar el espectro, además tiene como otra de sus propiedades, el de ser magnéticamente isotópico, y sus protones dan una señal únicamente, sin complicaciones.

Otro de los compuestos que puede usarse es el DSS (sal disódica del ácido 2,2 - dietil, penta-2- silán-5- sulfónico) aunque puede producir señales que pueden llegar a interferir en la determinación.

Existen entre los núcleos interacciones magnéticas entre los diferentes tipos de alios y éstas son conocidas como interacciones spin - spin, y a la distancia que existe entre los picos de una señal múltiple dada, se le llama constante de acoplamiento (J), la cual toma diferentes valores, según cada caso en particular, además es independiente del campo magnético.

Para calcular la multiplicidad de las señales causadas por ésta interacción, se han postulado tres reglas:

- 1) Núcleos de un grupo equivalente no interactúan entre sí y dan una señal simple (ejem: los tres H del metilo).
- 2) La multiplicidad de una banda de grupos equivalentes está determinada por los núcleos cercanos de spin equivalente, que cui-

son $(2n + 1)$ bandas, por ejemplo la interacción de un metilo con un metileno.

3) Si hay más de dos grupos no equivalentes interaccionando entre sí, la multiplicidad de uno de ellos será $(2n + 1)(2n' + 1)$ en donde n y n' representan éste número de núcleos interactuando y los cuales son equivalentes.

Estas reglas sólo se aplican cuando el desplazamiento químico entre los protones acoplados es grande en comparación con las constantes de acoplamiento, se dice entonces, que los patrones spin - spin son de primer orden⁶.

Para el caso particular del protón las intensidades relativas de los picos de una señal múltiple está dada - por los coeficientes de desarrollo del binomio de Newton.

Tenemos además patrones de acoplamiento para los protones cuyos desplazamientos químicos y constantes de -acoplamiento son del mismo orden, los cuales se representan por - medio de las letras A, B, etc. Es decir si se trata de dos núcleos equivalentes se simbolizan por A_n , B_n , etc.

Si tenemos dos núcleos equivalentes, se simboliza por A_2 , cuando varios núcleos interactúan entre sí ó están acoplados, por ejemplo un núcleo A con - varios núcleos B, la constante de acoplamiento entre A y cada nú-
^{1,2} cleo B, tiene que ser de la misma magnitud.

Cuando A tiene un desplazamiento químico muy diferente del de otro protón con el cual interacciona, éste último se representa como X, Y, etc., y cuando el desplazamiento es semejante al de - A, se representa con las letras B, C, etc.
^{1,2}

Así tenemos para dos protones que interaccionan, los siguientes sistemas : A_2 , AB , ABX .

Cuando se trata de tres protones, tenemos : sistema A_3 , AB_2 , AX_2 , ABC y ABX . Por último tenemos el caso en el cual interacciones cuatro ó más protones : sistema A_4 , A_2L_3 , AX_3 , A_2X_2 , A_2B_2 , ABX_2 , $ABCD$ y ABX_3 .

Es importante tener en cuenta que cuando los átomos de carbono # tengan hibridación sp^2 , como sucede en los compuestos aromáticos y vinílicos, los acoplamientos de los protones podrán ser a través de más de tres ligaduras, y se conocen como acoplamientos a larga distancia, como sucede en el caso de los grupos metilo que interactúan con los protones aromáticos del benceno.

La magnitud de las constantes de acoplamiento a larga distancia ó acoplamiento benílico son del orden de 0.3 a 1.0 cps.³

En cambio en los protones vinílicos, el acoplamiento a través de cuatro ligaduras se denomina acoplamiento alílico y su valor depende de la posición relativa de los protones que interactúan (cicloides ó transoides),⁴ y su valor varía aproximadamente entre 1 y 2 cps.

Existe otro tipo de acoplamiento vinílico, cuyo nombre es acoplamiento "gem", en el que interactúan núcleos unidos al mismo carbono de una doble ligadura. La magnitud de la constante varía entre 0 y 3.5 cps.

Cuando los acoplamientos se llevan a cabo a través de cinco ligaduras de núcleos unidos a sistemas no saturados

dos, se les llaman acoplamientos homonucleicos, los cuales se manifiestan con constantes del orden de 1.5 cps cuando la interacción es en forma cisoíde y de 0.7 cps cuando es en forma transoides.

Las consideraciones teóricas que explican estas interacciones de núcleos a larga distancia son conocidos ampliamente.⁷

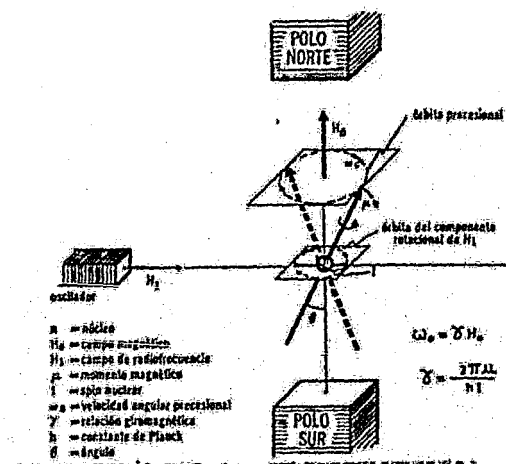


Figura 1. Comportamiento de un núcleo.

APLICACIONES.

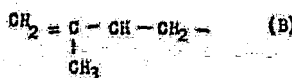
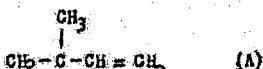
La aplicación de la espectrometría de RMN como un método analítico cuantitativo ha ido en notable aumento durante los últimos años, más usos para el análisis de mezclas de productos orgánicos, como polímeros y componentes de fórmulas farmacéuticas, así como su aplicación en campos industriales se están desarrollando ampliamente.

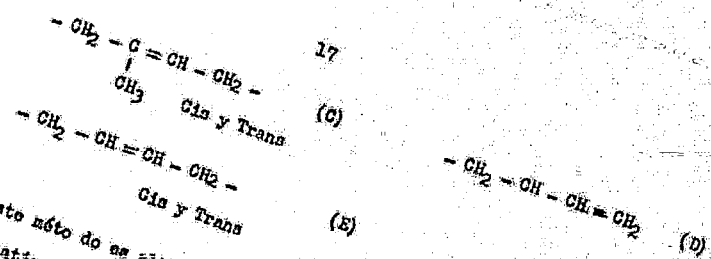
Los fines alcanzados por este método pueden variar, ya que en algunos casos las determinaciones efectuadas van encaminadas a conocer en forma cuantitativa la composición de un producto en una mezcla comercial, en otros casos el fin es encontrar directamente un método de control analítico cuantitativo reproducible y exacto de un componente específico.

APLICACION AL ANALISIS DE POLIMEROS.

Dentro de los primeros trabajos de investigación en este campo de la espectrometría de RMN, tenemos el efectuado por Hung Yu Chen (8) en el año de 1962, sobre los polímeros de butadieno-isopreno y la forma en que se puede determinar su concentración en los copolímeros por RMN de alta resolución (9).

Como se sabe los copolímeros de butadieno-isopreno, tienen un peso molecular que va de 100 000 a 200 000 y las unidades de butadieno e isopreno se encuentran en las cadenas en la siguiente forma:





Este método es altamente útil para poder determinar las concentraciones relativas, y es aplicable por lo tanto al control de calidad de polímeros, tomando en cuenta que un leve cambio en dichas concentraciones de cada componente, afecta las propiedades físicas de los mismos. Para llevar a cabo el análisis, se preparó una solución del polímero de aproximadamente 5 % por peso de muestra en CCl_4 , usando como referencia interna TMS .

También se usaron polímeros de polibutadieno y poli-isopreno sintéticos de grado comercial, como compuestos de referencia sin purificar. Otros de los hidrocarburos usados como referencia se mencionan en la Tabla II.

El espectro de H-NMR para los copolímeros butadieno-isoprano con una proporción de sus componentes de 10:1, 4:1 y 1:1 se puede observar en la figura 2.

Sí observamos el espectro, vemos que la proporción 1:1 presenta siete picos definidos en dos grupos distintos, dentro de los cuales los picos 1,2,3, presentes a campo bajo del espectro, son carnoterísticos de varios protones unidos directamente a carbonos de tipo olefinico, mientras que los picos 4,5,6, y 7 que se encuentran a campos altos, son carnoterísticos de los protones remanentes de la molécula.

18

Tabla II. Picos asignados para el copolímero butadieno - isopreno (1:1).

Pico No. Desplazamiento del pico, p.p.m. de D_2S

Pico No.	Desplazamiento del pico, p.p.m. de D_2S	Tipo de protón	Compuesto de referencia	Desplazamiento químico del compuesto de ref., en p.p.m. de T.M.G.
1	5.30	- $CH = CH_2$ -	1,5 Hexadieno 1- Octeno 1- Hexeno 1- Penteno	
2	5.03	- $OH = CH$ - - $CH = CH_2$ -	Polibutadieno cis y trans 1,5 Hexadieno 1- Octeno 1- Hexeno 1- Penteno	5.56
3	4.65	- CH_3 - - $CH = O$ -	Hule natural	5.31
4	1.98	$OH_2 = C$ - CH_3	2-Etil-1-buteno 2,4,4-Trimetil-1-penteno.	5.05
5	1.58	$CH - C = O$		
6	1.26	$CH_3 - C = O$	Polibutadieno cis y trans	4.62
7	0.92	$OH - C - C$ $CH_3 - C - C$	Hule natural	1.98
				1.68

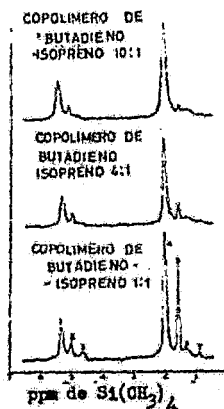


Figura 2. Espectro de alta resolución de copolímeros de butadieno -isopreno.

Todas las asignaciones anteriores fueron hechas tomando en cuenta los resultados obtenidos para los compuestos de referencia, de estructura ya conocida y la cual se encuentra indicada también en la Tabla II.

Como sabemos el área que se encuentra bajo los picos de absorción, es directamente proporcional a la concentración de protones que contribuyen a ella, proveniente de $\gamma^2 \frac{h_1^2}{\pi} T_1 T_2 < 1$, donde γ es el radio gáromagnético del protón; H es igual a la fuerza del campo de radio frecuencia y T_1 y T_2 corresponden a las constantes de tiempo de relajación spin - red y spin - spin.

Asumiendo que existe una pequeña cantidad de polimerización secundaria a través de las dobles ligaduras presentes en el polímero, no puede calcular la concentración relativa de unidades de la A a la E usando las siguientes ecuaciones simultáneas:

$$3[a] + 2[b] + [c] + 3[d] + 2[e] = \frac{1}{2} \text{ del Área de los picos } 1+2+3 \quad (1)$$

$$[b] + 4[c] + [d] + 4[e] = \frac{1}{2} \text{ del Área del pico } 4 \quad (2)$$

$$3[b] + 3[c] = \frac{1}{2} \text{ del Área del pico } 5 \quad (3)$$

$$[a] + [d] + 2[e] = \% \text{ del área del pico 1} \quad (4)$$

$$2[b] = \% \text{ del área del pico 3} \quad (5)$$

$$2[c] = \% \text{ del área del pico 7} \quad (6)$$

El área individual de los picos se expresa como porcentaje del área total de todos los picos. En las ecuaciones anteriores tenemos que $[a]$, $[c]$, $[e]$ son las concentraciones relativas en moles por ciento correspondientes a las estructuras representadas de A a E.

Las ecuaciones de la 2 a la 6 se usaron para calcular las concentraciones de los cinco componentes, sustituyendo los valores obtenidos en la ecuación 1.

Tabla III. Composición del copolímero butadieno - isopreno (1:1).

Grupo.	Concentración encontrada en % de moles.
$\begin{array}{c} \text{CH}_3 \\ \\ -\text{CH}_2 - \text{C} - \text{CH} = \text{CH}_2 \end{array}$	8,10, 9
$\begin{array}{c} \text{CH}_2 = \text{C} = \text{CH} - \text{CH}_2 - \\ \\ \text{CH}_3 \end{array}$	14, 16, 15
$\begin{array}{c} -\text{CH}_2 - \text{C} = \text{CH} - \text{CH}_2 - \\ \\ \text{CH}_3 \end{array}$	34, 30, 32
$-\text{CH}_2 - \text{CH} - \text{CH} = \text{CH}_2 -$	4, 1, 1
$-\text{CH}_2 - \text{CH} = \text{CH} - \text{CH}_2 -$	40, 43, 43

Tabla IV. Composición del hule natural y del copolímero butadieno - isopreno (1:1).

Grupo	Mezcla 1		Mezcla 2		Mezcla 3	
	% de moles		% de moles		% de moles	
	Enc.	Calc.	Enc.	Calc.	Enc.	Calc.
CH_3						
$-\text{CH}_2-\overset{\text{CH}_3}{\underset{ }{\text{C}}}-\text{CH}=\text{CH}_2$	7	8	10	8	8	8
$\text{CH}_2=\overset{\text{CH}_3}{\underset{ }{\text{C}}}-\text{CH}-\text{CH}_2-$	12	13	14	13	14	13
CH_3						
$-\text{CH}_2-\overset{\text{CH}_3}{\underset{ }{\text{C}}}-\text{CH}-\text{CH}_2-$	43	40	33	37	43	40
CH_3						
$-\text{CH}_2-\overset{\text{CH}_3}{\underset{ }{\text{C}}}-\text{CH}-\text{CH}=\text{CH}_2$	2	4	2	4	1	4
$-\text{CH}_2-\text{CH}=\text{CH}-\text{CH}_2-$	36	36	38	38	35	37

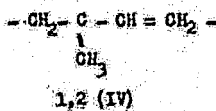
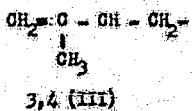
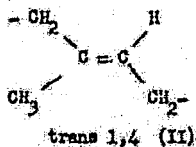
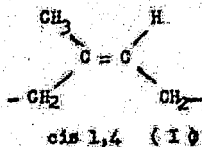
Si observamos la Tabla III veremos que la precisión obtenida en la determinación de un copolímero típico de butadieno - isopreno, cuya composición relativa es de 1:1 es aceptable, existiendo no obstante un error-aproximado de 2 - 3 % .

En la Tabla IV se muestran los datos calculados y los resultados de las determinaciones experimentales para la composición de tres mezclas independientes.

Como sabemos en las determinaciones cuantitativas por R.M.N el manejo del espectrómetro es muy importante y esto se ha discutido ampliamente (10) (11) (12) (13), en el presente estudio tenemos que para los copolímeros de butadieno - isopreno, la concentración de la solución está limitada por la solubilidad de los mismos y su viscosidad limita también la posibilidad de incrementar la magni-

tud de la señal, la cual es directamente proporcional a la concentración. La exactitud del método depende de la eficacia con la cual se puedan separar las señales que se sobreponen, en este caso la separación de los picos 4 y 5 fue la más crítica y esto se ve reflejado en el método de cálculo descrito antes.

Siguiendo con estos estudios, el mismo investigador publicó un trabajo (14) también en 1962, en el cual describe un método para la determinación cuantitativa del contenido de isómeros cis 1,4 y trans 1,4 en 1,4-poli-isopreno, usando espectrometría de R M N. Los isómeros presentan las siguientes estructuras:



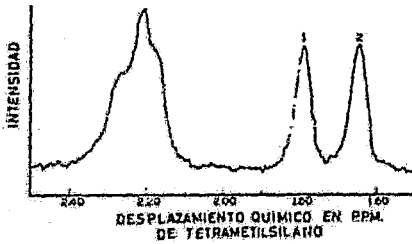
Como veremos más adelante, con variaciones adecuadas éste método es aplicable a la determinación de isómeros 3,4 (III) y 1,2 (IV) también.

Para la determinación del contenido de isómeros 1,4 cis y trans, se usan bandas bien definidas y de alta intensidad que presentan los espectros correspondientes. El método gracias a esta característica es sensible y el error es aproximadamente de 0.5 %.

El espectro de RMN obtenido con una mezcla de hule natural-cis y trans 1,4 nos muestra que los grupos metilo de las unidades I y

II no son equivalentes, y usando alta resolución se puede observar — como dos picos bien definidos y cuya separación depende del disolvente— usado, habiéndose encontrado que el benceno es el mejor.

El espectro obtenido se presenta en la Figura 3, pudiendo observar en él los picos correspondientes para las unidades cis y trans 1,4 presentes en la mezcla de aproximadamente 3 % de hule H evia y Balata en benceno. Las concentraciones de estas unidades se pueden determinar por medio de la medición exacta de las dos áreas de los picos.



Espectro de R.M.P. de una mezcla de 1,4 - poli-isopreno cis y trans.

1. Pico perteneciente al protón metílico - cis.
2. Pico perteneciente al protón metílico - trans.

En la Tabla V se muestran los resultados del análisis para cuatro mezclas de hule H evia - Balata sintéticos. Lo importante de este trabajo es que se determinó con exactitud la posición de la señal del grupo metilo de la estructura III, usando como referencia 2,5 - dimetil, 1,5 - hexadíeno y un polímero de poli-isopreno con alto contenido de la unidad 3,4 - inuelto en benceno.

Tabla V. Composición calculada y encontrada de mezclas de 1,4 poli-isopreno sintéticos.

Solución	Contenido de cis 1,4, en moles por ciento.	
	Calculada	Encontrada
1	22.62	22.81
2	39.47	39.71
3	58.58	58.43
4	67.05	66.48

El porcentaje de moles 1,4 -cis, más el porcentaje de moles de 1,4 -trans = 100.

Tabla VI. Análisis de poli-isoprenos sintéticos.

Muestra	(% de moles)			
	Cont. 1,4-cis	Cont. 1,4-trans	Cont. 1,2	Cont. 3,4
1	66	24	0	10
2	63	37	10	10
3	0	7	19	74

Dentro de los límites del error experimental se encontró que éste - pico tiene el mismo desplazamiento químico correspondiente al pico - del metilo de la unidad 1,4 - trans.

Con lo anterior el método se pudo - extender al análisis de poli-isoprenos que contengan los cuatro tipos - de unidades, teniendo un error aproximado de 2-3 %, ya que el contenido de unidades 1,4 ; 1,2 ; 1,3 ; se determinó por el procedimiento previamente descrito (8) y las unidades 1,4 - cis; 1,4 - trans y 3,4 se deter - minaron por el presente método. En la Tabla VI se muestran los resulta - do's obtenidos con tres polímeros sintéticos.

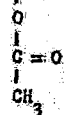
La exactitud y sensibilidad del método es considerablemente mejor que el que presenta el basado en la espectroscopía de infrarojo.

Otra de las determinaciones cuantitativas interesante dentro del estudio de polímeros apareció en 1964 (15), refiriéndose a la determinación del contenido de acetato de vinilo en copolímeros formados por etileno - acetato de vinilo, usando como en los casos anteriores R M N de alta resolución.

El método aquí descrito está basado en el hecho de que la relación de protones calculados por unidad de peso de los monómeros - de etileno y acetato de vinilo es aproximadamente de 2:1.

Por medio de la determinación del contenido de protones por unidad de peso del copolímero, se puede obtener el contenido de acetato de vinilo del mismo. Ya que el método depende de la determinación total de protones calculados por unidad de peso del copolímero, la sobreposición de los picos no tiene importancia, en este caso particular esto nos da oportunidad de poder usar éste método para copolímeros con mínimo 1 % hasta un gran contenido de acetato de vinilo, siendo este porcentaje prácticamente el límite en el que pierde exactitud el método.

En los copolímeros de etileno - acetato de vinilo, se encuentran las siguientes unidades monoméricas:



El método está basado en el principio de que el pico correspondiente al grupo metilo en la unidad monomérica (II), se separa de los picos co-

rrespondientes a los protones metilénicos. De la determinación relativa de estos dos grupos de picos, se obtiene rápidamente el contenido de acetato de vinilo en un copolímero.

Antes de que éste método fuera desarrollado, otros investigadores reportaron uno similar (16), sin embargo éste tiene el inconveniente de que al aumentar la concentración de acetato de vinilo se observa un "coleo" de la señal correspondiente a los grupos metileno y como consecuencia hay una sobreposición con el pico del grupo metilo. El nuevo método aquí descrito elimina esta dificultad usando como estandar interno ferroceno.

Este último procedimiento fue probado primero con mezclas de acetato de vinilo y n-octacosano. Los resultados de este análisis se presentan en la Tabla VII.

Tabla VII. Contenido de acetato de vinilo en mezclas de acetato de polivinilo y n-octacosano.

Mezcla	% de peso presente.	% de peso encontrado.	Diferencia
1	10.33	10.2	+ 0.13
2	19.88	20.1	+ 0.22
3	29.90	30.1	+ 0.20
4	39.95	38.8	- 1.15
5	50.05	50.1	+ 0.05
6	60.30	59.1	- 1.20
7	69.86	70.9	+ 1.04
8	80.58	80.2	- 0.38
9	90.00	90.3	+ 0.30

Cada uno de los valores corresponde al promedio de diez integraciones sucesivas.

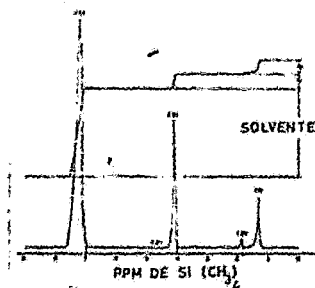


Fig. 4 Espectro e integral de una muestra en solución de un copolímero de etileno-acetato de vinilo.

En la figura 4 podemos observar las señales o líneas espectrales de una muestra de copolímero de etileno-acetato de vinilo en solución, el pico 1 corresponde al grupo $-CH_2-$; el pico 2 al grupo $CH_3-C=O$; y al pico 3 al ferroceno; el pico 4 al grupo $CH-$ y el pico 5 al clorobenceno, que fue usado como disolvente.

La relación entre la fracción del peso del acetato de vinilo en el copolímero y la determinación de las áreas de los picos, se obtiene de la siguiente ecuación:

$$\frac{I_f}{I_c} = \frac{10}{185.92} \times \frac{w_c}{x + w_c} \quad (1)$$

Donde:

I_f = Área del pico del estandar interno.

I_c = Área del pico característico de los protones en el copolímero.

w_f = Peso del estandar interno usado.

w_c = Peso del copolímero usado.

x = Protones calculados por unidad de peso del copolímero por determinar.

$$X = \frac{1.0}{185.92} \cdot \frac{W_p}{W_0} \cdot \frac{I_C}{I_F} \quad (2)$$

La ecuación anterior es la ecuación (1) modificada. Pero para el cálculo de protones por unidad de peso de un copolímero compuesto de unidades monoméricas I y II con cálculo de protones por unidad de peso de $4 / 28.03$ y $5 / 86.05$ respectivamente, se puede expresar así:

$$X = \frac{4}{28.03} (1 - \alpha) + \frac{5}{86.05} \alpha \quad (3)$$

Donde α = fracción de peso de acetato de vinilo en el copolímero. Cuando X se determina por medio de la ecuación (2), el peso de la fracción de acetato de vinilo en el copolímero se puede determinar por medio de la ecuación (3). En vista de que la relación entre α y X es lineal, la determinación de α a partir de X se puede simplificar con una gráfica de α contra X, donde los límites para α serían de cero a uno. Para poder estar seguros de que éste método es también aplicable a copolímeros de tipo comercial, se analizaron una serie de seis de ellos, los resultados se muestran en la Tabla VIII.

Tabla VIII. Contenido de acetato de vinilo en copolímeros comerciales de etileno - acetato de vinilo.

Copolímeros	% de peso presente.	Acetato de vinilo % de peso encontrado	% de desv. estándar.
Du Pont Elvax 150	31 - 33	33.4	1.1
Du Pont Elvax 220	28 - 30	29.3	1.3
Du Pont Elvax 250	28 - 30	30.9	1.0
Bayer Levapren K A 5021	30	30.0	0.6
Bayer Levapren 450	45	43.5	0.7
Bayer Levapren KA5023	70	69.0	1.8

Si se desea obtener resultados positivos de ésto método, se debe de tomar en cuenta que en la determinación experimental es una condición importante para el copolímero como para el estandar de referencia interno, tanto, estar completamente disueltos y que la solución que se forma sea homogénea, tomando en cuenta lo anterior se evitan serios errores en la determinación.

David W. Carlson (17) en 1969 llevó a cabo un trabajo en el que realizó la determinación cuantitativa de la composición y copolímeros de butadieno - ácido con hule natural, polibutadieno y copolímeros de butadieno - ácido. La muestra de hule vulcanizado se extrajeron usando como divisor los dos copos de hule natural, polibutadieno se adicionaron 4 ml. de hexaclorobutadieno y se calentaron a 1600°C., extrayéndose en este momento el filtrado se adicionó T.M.P. como estandar interno.

Los muestras de hule vulcanizado se extraída se le adicionaron 4 ml. de hexaclorobutadieno y se calentaron a 1600°C., extrayéndose en este momento el filtrado se adicionó T.M.P. como estandar interno. La solución y al filtrado se le adicionó T.M.P. como estandar interno. El espectro se obtuvo a la temperatura ambiente. En este caso las conclusiones publicadas por Hochel (18), los espectros obtenidos por R.R. fueron usados para calcular la composición de los polímeros por R.R. Fueron comparables a los obtenidos con polímeros puros, siendo de una calidad comparable a los obtenidos con polímeros puros, las cantidades presentes de butadieno, hule natural y estireno y los valores encontrados presentes de butadieno, hule natural como una falla del método al que no distingue la unidad de butadieno - estireno como se puede observar en la Tabla IX.

Se encontraron además las cantidades relativas de 1,2-butadieno y copolímeros de butadieno - estireno, y copolímeros de butadieno - estireno.

Tabla IX. Determinación de la composición de polímeros.

Composición de la fórmula calculada.

Estirano	Hule nat.	Total	Butadieno 1,4 -	1,2 -
15.5			75.2	9.3
12.0			50.5	37.5
	25.0	75.0		
	40.0	60.0		
20.0	20.0	60.0		
17.0	30.0	53.0		
16.7	35.0	51.7		
15.6	40.0	54.4		
13.2	42.0	46.8		
11.0	50.0	39.0		
8.8	60.0	31.2		

Composición de la fórmula encontrada.

13.7			76.5	9.8
11.7			47.3	41.4
	27.1	72.9		
	42.0	58.0		
20.0	24.3	55.7		
15.5	31.0	53.5		
16.0	36.0	48.0		
16.6	41.7	41.7		
11.6	44.0	42.9		
9.7	50.0	40.3		
5.0	64.0	31.0		

Se encontraron además las cantidades relativas de 1,2-butadieno y 1,4-butadieno en los casos en que se presentan mezclas de poli-butadieno y copolímeros de butadieno - estireno. Sin embargo no se pudieron calcular las cantidades individuales de butadieno 1,4 cis y trans, pues existe una sobreposición completa de las señales como lo muestra la Figura 5.

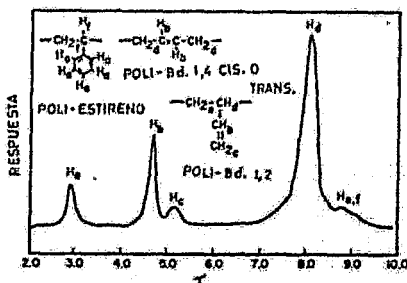


Figura 5. Espectro de RMN de hule vulcanizado contenido en una mezcla de polibutadieno y copolímero de butadieno-estireno.

Las señales de los protones metilénicos del butadieno y el hule natural se sobreponen a la señal del grupo metilo del hule natural. El grado de sobreposición puede variar de acuerdo con la eficiencia de disolución de la muestra, que en el caso de polímeros se ha visto ya que es de suma importancia.

Por la razón anterior el área correspondiente a la señal del grupo metílico se midió exactamente de la pendiente inicial y final de la señal para reducir cualquier contribución de la sobreposición de las señales como se muestra en las figuras 6 y 7 por medio de flechas — si la medición no se hace de esta forma los resultados obtenidos son generalmente altos.

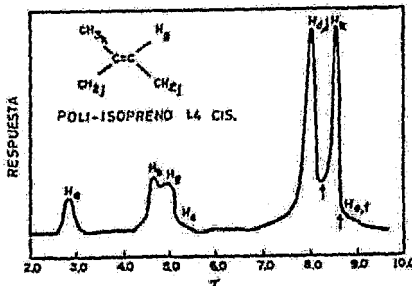


Figura 6. Espectro de RMN de hule vulcanizado contenido en una mezcla de hule natural y copolímero de butadieno-estireno.

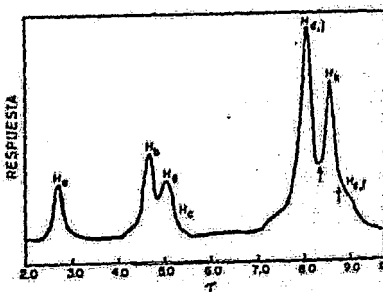


Figura 7. Espectro de RMN de hule vulcanizado contenido en una mezcla de hule natural, polibutadieno, y copolímero de butadieno-estireno.

En cuanto a los disolventes usados, tenemos que tanto el naftaleno como el orto y para-dicloro benceno; el 1,2,4-tricloroetileno y el 1,1', 2' tetracloroestano, disuelven a las muestras de hule vulcanizado a una temperatura alrededor de 160° C. Si se usa un disolvente aromático se presenta la desventaja de que hay interferencia con las señales de los protones aromáticos del estireno.

Dentro de esta misma clase de investigaciones, tenemos la realizada - - por R. A. Spragg en 1970 acerca del estudio de resinas de fenol-formaldehido (19), por RM.

La información que nos proporciona el espectro de RM del protón perteneciente a las resinas formadas por fenol-formaldehido solubles, es muy - detallada acerca de la estructura química de las mismas, la cual es - difícil de obtener por otras técnicas.

Las resinas de fenol-formaldehido se dividen en dos - grupos: las no volátiles, preparadas por medio de mezclas con exceso de - fenol, y resoles, que se obtienen con un exceso de formaldehido. Las no- volátiles consisten de un núcleo fenólico unido por uniones metilénicas a las posiciones orto ó para con respecto al grupo hidroxilo, habiendo - tres posibles isómeros : orto - orto, orto-para, y para-para.

La ventaja que presenta este tipo de análisis es que los desplazamientos químicos son diferentes para cada isómero.

En solución de acetona las señales correspondientes a las señales para las uniones orto-orto y orto- para no aparecen bien definidas (20), pero en piridina los desplazamientos químicos presentan - una diferencia considerablemente aceptable (21), con lo cual es posible identificar a cada isómero. La integración de las señales de los tres isómeros nos da una información cuantitativa de la proporción de cada uno de ellos.

La investigación hecha por el método de infrarojo nos proporciona datos acerca del número de sustituyentes orto y para, pero no es posible muchas veces obtener datos acerca de los tres isómeros en forma clara.

En este caso la RM puede aplicarse también a la investigación del peso- molecular de las resinas no volátiles.

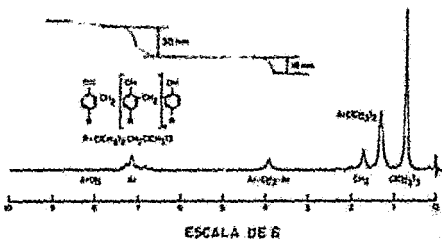


Figura 3. Espectro de IR de p - octil fenol.

En la Figura 3 podemos observar el espectro del p - octil fenol. El nùmero promedio de uniones metilénicas por cadena es $(n + 1)$, y el nùmero promedio de protones aromáticos y metilénicos por molécula es de $(2n + 6)$ y $(2n + 2)$ respectivamente.

La integración del espectro nos proporciona la relación de protones aromáticos y metilénicos, que es de 30 a 18. Con lo cual tendrémos:

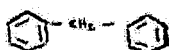
$$\frac{2n + 6}{2n + 2} = \frac{30}{18}$$

Por lo tanto $n = 2$, lo cual nos indica que la longitud promedio de la cadena es de cuatro núcleos fenólicos y el peso molecular promedio es de 360. Estos cálculos se pueden aplicar en forma similar a las integrales de los oxirrilos fenólicos a las señales de los grupos alquilo, dando resultados idénticos.

Con este ejemplo podemos ver la gran utilidad del método de ARI en la identificación de cadenas terminales de fenoles sustituidos, en este caso del grupo $(\text{CH}_3)_2 - \text{CH}_2 - \text{C}(\text{CH}_3)_3$.

Cuando los sustituyentes del anillo se encuentran en posición meta con respecto al grupo oxídrilo, la gran interferencia estérica que se presenta en la molécula, causa cambios en los desplazamientos químicos de los sustituyentes por el efecto que ejerce sobre ellos el anillo.

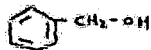
Por ejemplo, en las resinas formadas por el 3,5-xileno las señales correspondientes al grupo metilo pueden aparecer cerca de 0.8 δ en lugar de la posición normal de 2.2 δ. Tales observaciones contribuyen indudablemente en la investigación de las conformaciones de tales compuestos.



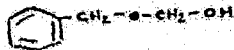
I



II



III



IV

Figura 9. Estructura de los resoles.

Las resinas formadas por resoles son más complejas que las no volátiles ya que presentan mezclas de difenil metano (I) y dibencil éter (II), así como uniones hidroxí metílicas (III) y bencil hemiformal (IV), como nos muestra la Figura 9.

La Figura 10 nos presenta el espectro del rosol formalde por t-butil-fenol y formaldehído.



Figura 10. Espectro de ^{13}C del resol de t - butil fenol y formaldehido.

La señal que aparece a 3.95δ es similar a la que aparece en las resinas no volátiles y corresponde a las uniones del fenil metano, mientras que el pico que aparece a 4.7δ corresponde a los protones metilénicos en las uniones dibencíil eter. La señal pequeña que aparece en 5.2δ corresponde al formaldehido polimerizado.

La integración de los picos metilénicos nos da a conocer la proporción de los dos tipos de uniones presentes en la resina. Las señales para el grupo hidroximetílico así como la correspondiente al grupo hemiformal, pueden aparecer también en la región comprendida de $4.5 - 5.0 \delta$, pero se pueden identificar rápidamente por su desplazamiento característico a bajo campo cuando la resina se encuentra acetilada (22).

El estudio de el espectro de ^{13}C de un resol y su derivado acetilado nos puede proporcionar datos cuantitativos acerca de las especies presentes. Esto contribuye para comprender mejor el complejo mecanismo que sigue la reacción de condensación: el fenol - formaldehído (22)(23).

APLICACION A LA DETERMINACION DE DIAGRAMAS DE EQUILIBRIO.

Existe una serie de trabajos dentro de este campo, presentados por A. - Manjarrez y colaboradores, apareciendo el primero de ellos en 1965 (24), el cual se refiere a la determinación del diagrama de equilibrio vapor-líquido formado por el sistema benceno-etil benceno correspondiente a un sistema ideal.

Como sabemos la RMN tiene ventajas sobre otros métodos espectrométricos en el análisis de mezclas binarias de líquidos. Una de ellas es que no es necesario conocer el coeficiente de extinción molar, ya que éste es constante e independiente del medio ambiente que rodea al protón en consideración, la otra es que la intensidad de una señal de RMN es proporcional al número de núcleos de hidrógeno u otro elemento factible de determinar por este método y puede medirse como ya se sabe por medio de la integración del área que se encuentra bajo la curva.

Por lo tanto éste método es aplicable al análisis de mezclas tales como las obtenidas del equilibrio existente entre el vapor y una mezcla de benceno y etilbenceno.

La fracción mol de etilbenceno en el vapor puede determinarse por medio de la integración del área bajo los picos correspondientes a los protones del etilo.

El segundo de los trabajos a éste respecto se refiere a la determinación del diagrama de equilibrio de una mezcla azeotrópica binaria, compuesta por agua - p-dioxano (25).

Con el objeto de poder determinar el diagrama de equilibrio de ésta sistem, se seleccionaron técnicas para la recolección de una muestra de vapor en equilibrio con su correspondiente líquido, para la determinación cuantitativa de sus componentes.

Las ventajas que éste método presenta fueron ya analizadas en el trabajo anterior, en este caso particular, las validez del método se demostró por comparación entre los datos obtenidos por él y los que se obtuvieron por cromatografía en fase vapor (26).

En forma similar al trabajo anterior, una vez que se interrumpen las señales de RM pertenecientes a dos protones de moléculas diferentes, podemos evaluar la cantidad de cada uno de ellos, dividiendo las áreas integradas correspondientes al hidrógeno que tiene cada molécula y calculando la fracción mol con la siguiente ecuación:

$$\gamma = \frac{I_{\text{a}/2}}{I_{\text{a}/2} + I_{\text{d}/2}}$$

Se hicieron diferentes mezclas de los componentes de cada mezcla de los líquidos, tomando una alícuota de ellas y analizándola por RM por separado para tener una prueba más de la eficacia del método a través de todo el rango de composición del mismo.

Los resultados nos muestran dos cosas diferentes, uno de ellas es que el método de análisis y sus cálculos son acertados, y la otra es que la composición de las soluciones preparadas es muy cercana a las mezclas deseadas. El promedio de tres integraciones para cada pico, obtenidas del espectro de RM correspondiente se muestran en la Tabla X.

Debido a que solamente se tenía interés en conocer la intensidad de las bandas de absorción de los protones del dióxido y del agua, no se usó referencia externa, ni interna.

Tabla I . Sumario de resultados.

<i>x</i>	<i>C_s</i>	<i>C_a</i>	<i>W_s</i>	<i>W_a</i>	<i>I_s</i>	<i>I_a</i>	<i>N</i>	<i>I_s</i>	<i>I_a</i>	<i>F</i>
0.00	—	—	—	—	—	—	—	—	—	—
0.05	-0.3235	49.0763	0.5285	49.4076	1.85	113.3	0.0613	3.0	80.0	0.1632
0.10	1.11072	44.38928	1.1108	48.8896	3.3	122.7	0.0971	9.2	75.3	0.3197
0.15	1.06201	48.51704	1.0621	48.3178	4.6	105.0	0.1504	12.0	90.0	0.3970
0.20	2.03119	47.36841	2.0309	47.5078	5.8	93.9	0.1981	17.4	91.0	0.4351
0.25	3.10049	46.399593	3.1002	46.8090	7.9	93.4	0.2327	14.9	75.0	0.4328
0.30	4.02531	43.97139	4.0250	43.3713	10.5	72.7	0.2976	16.0	75.0	0.4604
0.35	4.01901	43.01029	4.0269	43.0108	8.8	61.0	0.3517	19.2	91.2	0.4371
0.40	3.00605	44.00192	5.9081	44.0022	12.6	76.1	0.3935	19.0	91.1	0.4548
0.45	7.10391	42.83109	7.1038	42.8314	15.9	75.0	0.4528	15.1	50.9	0.4600
0.50	8.48691	41.31199	8.4876	41.5123	21.0	81.6	0.5083	17.1	52.7	0.4816
0.55	9.997093	40.002903	9.9977	40.0028	23.2	80.4	0.5563	18.2	72.0	0.5028
0.60	11.23567	38.20413	11.2355	38.2010	29.0	78.3	0.6013	18.5	71.6	0.5082
0.65	13.56106	36.23262	13.5602	36.2356	31.7	75.6	0.6173	18.9	71.4	0.5145
0.70	16.11047	33.65013	16.1109	33.6303	40.3	70.2	0.6263	19.8	71.2	0.5265
0.75	19.00780	30.95020	19.0101	30.9506	48.9	64.0	0.7309	21.0	50.9	0.5123
0.80	22.35559	27.360150	22.3559	27.3601	57.0	56.7	0.8007	22.6	20.0	0.4636
0.85	26.03738	23.026212	26.0371	23.1617	67.8	47.9	0.8196	24.4	69.1	0.5653
0.90	32.39364	17.60416	32.3935	17.6038	83.9	37.1	0.9023	26.0	67.8	0.6051
0.95	39.76143	10.23353	39.7610	10.2334	92.6	18.5	0.9170	32.6	61.2	0.6806
0.975	41.12468	5.57112	44.4266	5.5721	—	—	—	36.3	63.9	0.7796

NOMENCLATURA

- C_s* = Cantidad calculada de dioxano (g)
C_a = Cantidad calculada de agua (g)
I_s = Área integral de los picos de dioxano en las muestras líquidas*
I_v = Área integral de los picos de dioxano en las muestras de vapor*
I_a = Área integral de los picos de agua en las muestras líquidas*
I_w = Área integral de los picos de agua en las muestras de vapor*
M_d = Peso molecular de dioxano.
M_a = Peso molecular de agua.
W_s = Cantidad pesada de dioxano (g)
W_a = Cantidad pesada de agua (g)
x = Fracción molar seleccionada de agua.
y = Fracción molar de agua en líquidos preparados y analizados.
F = Fracción molar de agua medida experimentalmente en los vapores en equilibrio con las muestras líquidas preparadas.
* = Unidades arbitrarias.

En los espectros de RM pertenecientes a las diferentes mezclas, podemos observar que existe un desplazamiento de la posición de las señales de campo alto a campo bajo, esto sucede cuando la concentración de agua aumenta, mientras que la señal simple perteneciente al p-dioxano permanece más o menos en la misma posición en todas las muestras analizadas.

Esto se puede observar prácticamente si hacemos una comparación de la señal obtenida para la mezcla con más bajo contenido de agua (en la cual la señal aparece a 60 cps a campo más alto que la señal simple del dioxano), y el espectro obtenido para la muestra con mayor contenido de agua, en el cual aparece la señal a 55cps - a campo más bajo con respecto a la señal del p-dioxano.

El diagrama vapor - líquido del sistema p - dioxano - agua, determinado a 586 mm de Hg se muestra en la Figura 11.

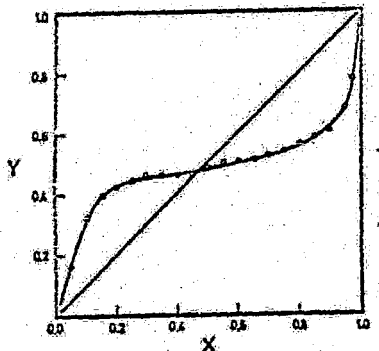


Figura 11. Diagrama de equilibrio vapor-líquido del sistema agua-p-dioxano (586 mm de Hg).

Continuando con los estudios para el establecimiento de curvas de equilibrio vapor - líquido por medio de la RMN, otro trabajo presentado por P. Joseph-Nathan en 1968 (27), describe los resultados de las determinaciones efectuadas en el sistema benceno - tolueno - estilbenceno.

Siendo éste un sistema ideal ternario, las consideraciones teóricas son las mismas que las consideradas para los otros casos anteriores (24), - (25), y no se discutirán de nuevo.

Con el objeto de obtener datos de equilibrio a través de todo el rango de composición del sistema ternario, se prepararon mezclas líquidas de fracción molar conocida a intervalos regulares de 0.1 de mol de cada uno de los componentes, obteniéndose en total sesenta y seis mezclas, de las cuales tres corresponden a los vértices del triángulo y representan a los componentes puros.

Se determinaron los espectros de RMN de cada una de estas setenta y tres mezclas y con efecto de realizar evaluaciones cuantitativas, los valores para los cálculos que más adelante se describen, son el promedio de tres integraciones de cada uno de los grupos de protones presentes en la mezcla.

El espectro de RMN (Fig.12) de cada una de las mezclas ternarias muestra la presencia de señales cerca de 7 ppm cuya integración corresponde a la suma de los seis protones del benceno (6B) y los cinco protones aromáticos del tolueno (5T) y del estilbenceno (5E).

$$6B + 5T + 5E = q \quad (1)$$

Una señal simple que aparece cerca de 2ppm corresponde a los hidrógenos del grupo metilo del tolueno (3T), y una cuádruple ($J=7$ c/s) centrada en ca. 2.3 ppm y una triple ($J=7$ c/s) centrada en ca. 1.5 ppm corresponden a los protones del metileno y metilo (3E) del grupo etilo del estilbenceno respectivamente (Fig. 12).

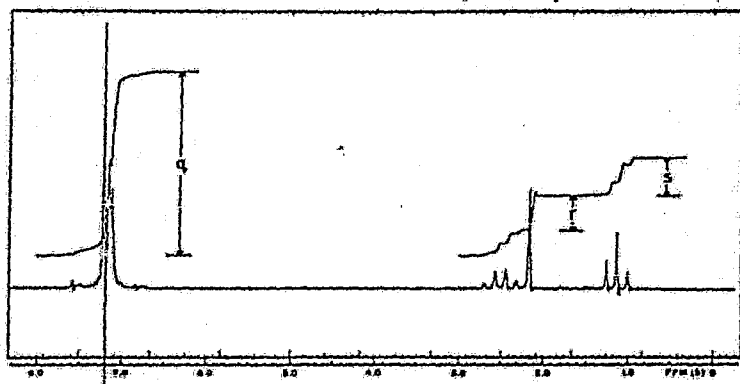


Figura 12. Espectro de RMN de las mezclas ternarias.

$$3T = r \quad (2)$$

$$3E = s \quad (3)$$

La ecuación 1 y 2 pueden resolverse fácilmente para las tres incógnitas (B, T, E) en función de los valores de q, r, s que se obtienen de las integraciones en los espectros de las mezclas, lo mismo se puede hacer con la ecuación (3).

Una vez obtenidos los valores para B, T, E , se calculan las fracciones molares en los vapores por medio de las siguientes ecuaciones:

$$\chi_A = \frac{B}{B+T+E}$$

$$\chi_T = \frac{T}{B+T+E}$$

$$\chi_E = \frac{E}{B+T+E}$$

Razonamientos matemáticos semejantes, pero más simples, se aplicaron para la resolución de las 27 mezclas binarias. Los datos obtenidos de los espectros de REN y las correspondientes fracciones molar de los vapores calculadas con esos datos se presentan en la Tabla II.

Si comparamos las cantidades calculadas, cuyos valores se muestran en la Tabla III, con los valores obtenidos experimentalmente, se puede concluir que el error experimental del método aplicado es muy pequeño (aproximadamente de 0.014 de fracción de mol) y por otra parte se puede decir que el comportamiento del sistema estudiado es muy cercano a lo ideal.

En la Figura 13 se muestra el diagrama triangular de equilibrio vapor líquido del sistema termio benceno - tolueno - etilbenceno, determinado experimentalmente.

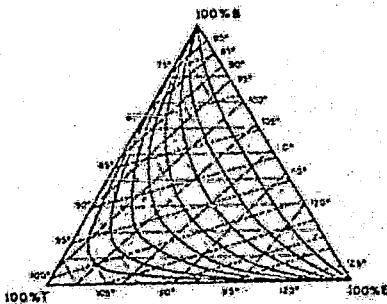


Figura 13. Diagrama de equilibrio benceno-tolueno-
etilbenceno, experimental.

Tabla XI. Cálculos teóricos para el sistema (ideal).

S_x	S_y	S_z	x	$X_x P_x$	$X_y P_y$	$X_z P_z$	P	V_{xz}	V_{xy}	V_{yz}
0	0	1.0	126	0	0	586	546	0	0	1.093903
0	0.1	0.9	123	0	107	477	581	0	0.163219	0.167674
0	0.2	0.8	120.2	0	198	398	580	0	0.237793	0.262116
0	0.3	0.7	117.3	0	276	311.3	583.5	0	0.407487	0.532121
0	0.4	0.6	114.4	0	342	216	584	0	0.587162	0.618597
0	0.5	0.5	112.2	0	398	188	585	0	0.679140	0.723919
0	0.6	0.4	109.7	0	447	158.8	585.8	0	0.763059	0.822944
0	0.7	0.3	107.5	0	499	96	585	0	0.850173	0.913422
0	0.8	0.2	105.3	0	536	59.8	585.8	0	0.939717	0.102392
0	0.9	0.1	103.1	0	588	28.1	586.1	0	0.932853	0.017911
0	1.0	0	0	586	0	586	586	0	1.000000	0
0.1	0	0.9	116	201.9	0	341.3	582	0.211421	0	0.653578
0.1	0.1	0.8	115.3	100	62.6	313.8	582	0.241211	0.140907	0.631029
0.1	0.2	0.7	114.1	179.1	151.6	255.4	583	0.209614	0.263128	0.131613
0.1	0.3	0.6	108.8	168	217.5	201.6	584	0.265152	0.243342	0.131613
0.1	0.4	0.5	105.3	158	272	135	585	0.277083	0.161917	0.261937
0.1	0.5	0.4	101.9	150	320	110	586	0.233973	0.197932	0.191016
0.1	0.6	0.3	102.5	142	345	81.6	586.6	0.216272	0.161823	0.191016
0.1	0.7	0.2	100.8	133.5	379	51	581.5	0.210111	0.052631	0.067216
0.1	0.8	0.1	98.7	128	422	21.6	584.8	0.218188	0.033811	0.042207
0.1	0.9	0	77	122	461.7	0	585.7	0.220911	0.020988	0
0.2	0	0.8	107.2	327	0	259.2	582	0.257334	0	0.418167
0.2	0.1	0.7	105.6	364	66.2	211.4	583	0.282614	0.112363	0.320394
0.2	0.2	0.6	103.6	291.2	123	167.2	584	0.291118	0.212462	0.230319
0.2	0.3	0.5	101.3	276	177	133	585	0.272209	0.201020	0.223160
0.2	0.4	0.4	99.8	264	223.2	92.2	586	0.252021	0.160167	0.161017
0.2	0.5	0.3	97.2	256.6	254.5	70.2	585.5	0.212156	0.131903	0.119938
0.2	0.6	0.2	95.3	240	302.4	41.8	587.2	0.167119	0.111695	0.162594
0.2	0.7	0.1	93.6	210	351.8	21.2	585.8	0.139221	0.117181	0.061010
0.2	0.8	0	92.2	221	365	0	585	0.137724	0.121372	0
0.3	0	0.7	100.8	406.8	0	179.0	583.8	0.291191	0	0.301565
0.3	0.1	0.6	99	387	51.5	182	582	0.300221	0.092222	0.211616
0.3	0.2	0.5	97.5	326.5	161.8	114	587.1	0.272119	0.117010	0.161013
0.3	0.3	0.4	95.5	351.0	177	96.8	583.4	0.298569	0.220251	0.141167
0.3	0.4	0.3	94	317.8	181.6	63	584.4	0.371979	0.211830	0.161013
0.3	0.5	0.2	92.5	321	221.5	40.2	585.7	0.333181	0.271179	0.061013
0.3	0.6	0.1	91	311.4	253.8	192	584.4	0.322851	0.131129	0.062041
0.3	0.7	0	89.6	309.0	265.8	0	586.2	0.312791	0.187203	0
0.4	0	0.6	92.5	459.8	0	127.2	585.8	0.274231	0	0.216168
0.4	0.1	0.5	93	434.3	43.2	102.3	586.1	0.211075	0.077119	0.171544
0.4	0.2	0.4	91.5	420	86	78	587	0.171978	0.117203	0.113541
0.4	0.3	0.3	90.3	406.4	125.6	56.7	586.7	0.162587	0.210460	0.094642
0.4	0.4	0.2	89	392	158.4	56	586.8	0.168181	0.267052	0.061010
0.4	0.5	0.1	87.8	379.2	179	173	587.5	0.161031	0.232933	0.022947
0.4	0.6	0	86.4	368	220.8	0	588.2	0.152100	0.273600	0
0.5	0	0.5	92.5	490.5	0	91	585	0.411382	0	0.151415
0.5	0.1	0.4	91	470	343	70	584.5	0.311640	0.063518	0.169201
0.5	0.2	0.3	89.8	460	73.8	50.7	585.5	0.246067	0.126261	0.161010
0.5	0.3	0.2	87.2	442.5	106.5	32.8	586.8	0.172203	0.181102	0.051091
0.5	0.4	0.1	85.6	422.5	136.4	16	587.3	0.139316	0.253310	0.027328
0.5	0.5	0	83.5	419	169	0	588.4	0.172543	0.227111	0
0.6	0	0.4	81.8	322	0	61	585	0.461227	0	0.102112
0.6	0.1	0.3	80.7	307	35.2	48.2	586.4	0.341205	0.078785	0.161013
0.6	0.2	0.2	80.2	492	64	59	586.6	0.339190	0.105211	0.031195
0.6	0.3	0.1	81.7	478.2	33	114	587.2	0.311012	0.131618	0.021561
0.6	0	0.2	80.8	460.8	120	0	588.8	0.291321	0.020184	0
0.7	0	0.3	81	316	0	42	587	0.224331	0	0.071428
0.7	0.1	0.2	80	329.2	79	26.8	587.0	0.205231	0.046106	0.041139
0.7	0.2	0.1	78.2	315.8	37.2	128	587.8	0.184764	0.081511	0.021820
0.7	0.3	0	76.3	322.4	83.4	0	588.2	0.181679	0.142230	0
0.8	0	0.2	74.9	366	9	23.8	587.8	0.173943	0.041162	0.019132
0.8	0.1	0.1	76.8	348	56.2	112	588.4	0.215112	0.041152	0
0.8	0	0	76	336	51	4	587	0.215117	0.041152	0
0.9	0	0.1	75.5	336	0	29	589.8	0.245102	0	0.016162
0.9	0	0	73.8	361	23.2	0	587.8	0.215128	0	0.016162
1.0	0	0	72.2	348	0	0	588	0.200200	0.016110	0.003110

Tabla XIII. Fracción de moles calculadas de los datos de ENN.

N _x	S _x	S _y	q	r	s	t	V _x	V _y	V _x
0	0	1.0	0	0	0	0	0	0	1.00000
0	0.1	0.9	14.2	0.5	0	0	0.170292	0.20705	
0	0.2	0.8	27	51.5	0	0	0.31248	0.268712	
0	0.3	0.7	50	23	0	0	0.451116	0.311941	
0	0.4	0.6	48	33.9	0	0	0.571610	0.252110	
0	0.5	0.5	37 ^a	28	0	0	0.610368	0.229112	
0	0.6	0.4	65	21	0	0	0.735813	0.211987	
0	0.7	0.3	71	13	0	0	0.825581	0.171119	
0	0.8	0.2	78.2	10	0	0	0.866621	0.113779	
0	0.9	0.1	85	3.2	0	0	0.912350	0.076763	
0	1.0	0	0	0	0	0	1.00000	0	
0.1	0	0.9	14.0	0	55	1	0.312518	0	0.611762
0.1	0.1	0.8	128	9.5	59	1	0.322241	0.131670	0.105417
0.1	0.2	0.7	127	18	50	1	0.301317	0.206869	0.415172
0.1	0.3	0.6	121	25	21	1	0.246407	0.361067	0.310114
0.1	0.4	0.5	100	26	15.8	1	0.272721	0.312155	0.271941
0.1	0.5	0.4	81	23	9.5	1	0.231031	0.310130	0.261037
0.1	0.6	0.3	81	28	6.5	1	0.211430	0.319210	0.153329
0.1	0.7	0.2	52	40	6	2	0.229610	0.516391	0.100354
0.1	0.8	0.1	132	56.27	3.2	1	0.218169	0.741246	0.012407
0.1	0.9	0	122	58.3	0	1	0.202317	0.792643	0
0.2	0	0.8	156	0	41.36	1	0.565018	0	0.111912
0.2	0.1	0.7	108	6.1	21.5	1	0.325010	0.161093	0.364924
0.2	0.2	0.6	113	12.2	18	1	0.501134	0.200113	0.202124
0.2	0.3	0.5	110	18	14	1	0.476200	0.201178	0.224933
0.2	0.4	0.4	107	22.5	10.5	1	0.466800	0.375000	0.175003
0.2	0.5	0.3	103	25.9	7	1	0.427948	0.151318	0.124212
0.2	0.6	0.2	67	23	4.2	1	0.104507	0.309418	0.045077
0.2	0.7	0.1	125	46	23	1	0.391161	0.717125	0.033069
0.2	0.8	0	181	67.5	0	2	0.377210	0.622760	0
0.2	0	0.7	130.4	0	28.5	1	0.693112	0	0.501145
0.3	0.1	0.6	60	11.2	32	4	0.695077	0.649600	0.211372
0.3	0.2	0.5	145	26.7	32.1	2	0.620133	0.172140	0.277361
0.3	0.3	0.4	115	31	18.5	2	0.598377	0.231321	0.130101
0.3	0.4	0.3	91	22.5	10.5	2	0.571058	0.212122	0.101793
0.3	0.5	0.2	75	30.5	5.2	2	0.533220	0.374380	0.070411
0.3	0.6	0.1	95	44	4	2	0.335840	0.420204	0.028151
0.3	0.7	0	42	24	0	2	0.313444	0.214412	0
0.4	0	0.6	190	0	16.5	2	0.374461	0	0.211339
0.4	0.1	0.5	58	15.5	33	10	0.715181	0.787118	0.171026
0.4	0.2	0.4	23	18	16.5	10	0.711247	0.119064	0.156643
0.4	0.3	0.3	215	24.5	12.5	2	0.694635	0.202250	0.103163
0.4	0.4	0.2	95	26	8.8	2	0.664695	0.264695	0.020033
0.4	0.5	0.1	91	31.5	4	2	0.644703	0.310214	0.040033
0.4	0.6	0	108	48.5	0	2	0.625771	0.374222	0
0.5	0	0.5	61	0	24	4	0.618150	0	0.174510
0.5	0.1	0.4	70	21	46	10	0.705131	0.767610	0.121714
0.5	0.2	0.3	85	20.5	15.5	4	0.729141	0.116177	0.040763
0.5	0.3	0.2	72	67	22	10	0.705000	0.176763	0.101511
0.5	0.4	0.1	112	24	3.5	2	0.735813	0.274746	0.029194
0.5	0.5	0	107.5	37	0	2	0.719178	0.240422	
0.6	0	0.4	67	0	17.5	4	0.691168	0	0.104431
0.6	0.1	0.3	42	14	18	10	0.681393	0.646013	0.083391
0.6	0.2	0.2	53	30	15	10	0.674662	0.110581	0.040115
0.6	0.3	0.1	61	18.5	3	10	0.661993	0.170578	0.027663
0.6	0.4	0	115	54	0	2	0.707101	0.252260	0
0.7	0	0.3	25	0	12.7	4	0.672414	0	0.070356
0.7	0.1	0.2	45	12	11	10	0.669120	0.612159	0.044063
0.7	0.2	0.1	48	22.5	6	10	0.677256	0.160474	0.023621
0.7	0.3	0	108	18	0	2	0.653520	0.122330	0
0.8	0.1	0.2	52	5	13	10	0.678333	0	0.071661
0.8	0.2	0.1	70	18	13	10	0.693467	0.611192	0.024007
0.8	0.3	0	64	30	0	2	0.681560	0.601010	0
0.8	0.4	-	76	0	10	10	0.697040	0.601010	0.019334
0.9	-	-	76	0	0	2	0.707200	0	
0.9	-	-	76	0	0	9	0.707200	0	

Símbolos empleados en las tablas anteriores:

x_B = Fracción mol de benceno en el líquido.

x_E = Fracción mol de estilbenceno en el líquido.

x_T = Fracción mol de tolueno en el líquido.

P_B = Presión de vapor del benceno a $t^{\circ}\text{C}$ (mm Hg).

P_E = Presión de vapor del estilbenceno a $t^{\circ}\text{C}$ (mm Hg).

P_T = Presión de vapor del tolueno a $t^{\circ}\text{C}$ (mm Hg).

P = Presión total = ca. 586 mm Hg.

y_B = Fracción mol de benceno en el vapor (experimental).

y_E = Fracción mol del estilbenceno en el vapor (experimental).

y_T = Fracción mol del tolueno en el vapor (experimental).

y_{B1} = Fracción mol de benceno en el vapor (cálculo ideal).

y_{E1} = Fracción mol de estilbenceno en el vapor (cálculo ideal).

y_{T1} = Fracción mol del tolueno en el vapor (cálculo ideal).

APLICACION A LA DETERMINACION DE ELEMENTOS.

Dentro de otras aplicaciones al análisis cuantitativo por RMN, tenemos la que presentó J.L. Jungnickel (28) en 1963, basado en la integración de las intensidades de las señales de algunos de los diferentes tipos de hidrógeno, determinando su presencia en forma cuantitativa por medio de ellas.

Recientemente han surgido posibilidades de realizar una integración electrónica de las áreas que se encuentran debajo de las bandas de absorción de RMN. Puesto que el área bajo la curva es estrictamente proporcional (en condiciones propias de trabajo) al número de núcleos contribuyentes a formar la banda, son posibles nuevos avances en la aplicación de la RMN.

La cantidad total de hidrógeno puede determinarse por comparación con muestras cuyo contenido de protones se conoce, por lo tanto es posible realizar un análisis cuantitativo de mezclas de compuestos orgánicos.

La elevación del pico de absorción de la señal de RMN en condiciones de barrido lento (29) está dada por la siguiente ecuación :

$$I_{\max} = \frac{Y H_1 T_2 N}{T [1 + (Y H_1)^2 T_1 T_2]} \quad (1)$$

Donde:

Y = radio de giro magnético.

H_1 = r.f. del campo magnético.

N = Número de núcleos.

T = Temperatura absoluta.

T_1 = Tiempo de relajación spin-earejado.

T_2 = Tiempo de relajación spin-spin.

Como las elevaciones de los picos individuales afectan los resultados por los acoplamientos spin-spin y también por variaciones de T_2 , las cuales varían inversamente con la amplitud de línea, no es un buen método para la determinación del número de núcleos. Por esto de otra manera el área bajo un pico puede estar dada por la siguiente expresión :

$$A_H = \int_{-\infty}^{+\infty} I dH = K' \frac{H_1 N}{T [1 + (r H_1)^2 T_1 T_2]^{1/2}} \quad (2)$$

Como la integral normal se obtiene como una función del tiempo más que de la fuerza del campo magnético, puede quedar de la siguiente forma :

$$A_t = \int_{-\infty}^{+\infty} I dt = K'' \frac{H_1 N}{T R [1 + (r H_1)^2 T_1 T_2]^{1/2}} \quad (3)$$

Sin embargo bajo condiciones de barrido lento, se requiere un tiempo muy largo para obtener la integral, lo cual obviamente es impráctico. Se ha visto que para un barrido rápido, T_1 debe reemplazarse por el tiempo actual, durante el cual se permite que tengan lugar las transiciones, éste tiempo r es el tiempo empleado en pasar a través de la resonancia. La ecuación (3) sólo es válida en condiciones de barrido lento, donde el campo magnético se barre tan lentamente que obtenemos la siguiente expresión :

$$\frac{T_1 R}{H_1} < < \text{amplitud de línea} \quad (4)$$

Para obtener el valor de "r" tenemos que :

$$r = \frac{\Delta H}{R} \quad (5)$$

Donde: H = amplitud de línea, ahora puesto que :

$$\Delta H = \frac{1}{\sqrt{2} T_2}$$

(6)

Tenemos que T_1 en la ecuación (3) puede ser reemplazada por esto hace que T_2 quede cancelada y tenemos entonces la siguiente ecuación :

$$\Delta t = K'' \frac{H_1 N}{T R [1 + \gamma H_1^2 / R]^{1/2}} \quad (7)$$

Para $\gamma H_1^2 / R \ll 1$ se puede expresar así :

$$\Delta t = K'' \frac{H_1 N}{T R} [1 - 1/2 \gamma H_1^2 / R + \dots] \quad (8)$$

Esta ecuación es válida para aquellas condiciones en que $\gamma H_1 T_2 \gg 1$ (barrido rápido comparado con el tiempo de relajación).

En el curso de las determinaciones analíticas se observaron numerosos ejemplos de desviaciones aparentes de las cantidades teóricas relativas de varios tipos de hidrógeno en compuestos que se supone presentaban una pureza máxima.

No obstante que para reunir las condiciones para las cuales la ecuación (8) es válida, se adicionó un integrador electrónico al aparato de ESR usado.

Como no se sabía si estas desviaciones eran debidas a las condiciones incorrectas de operación o a la composición deficiente del instrumento, o bien simplemente a las impurezas que pudiesen estar presentes en la muestra, la exactitud del integrador usado, se determinó por medio de las magnitudes relativas de las integrales obtenidas para los protones con diferente desplazamiento químico en compuestos seleccionados y con una pureza ya establecida.

(6)

Tenemos que T_1 en la ecuación (3) puede ser reemplazada por esto hace que T_2 quede cancelada y tenemos entonces la siguiente ecuación :

$$\Delta t = K^0 \frac{H_1 N}{T R [1 + \gamma H_1^2 / R]^{1/2}} \quad (7)$$

Para $\gamma H_1^2 / R \ll 1$ se puede expresar así :

$$\Delta t = K^0 \frac{H_1 N}{T R} [1 - \frac{1}{2} \gamma H_1^2 / R + \dots] \quad (8)$$

Esta ecuación es válida para aquellas condiciones en que $\gamma H_1 T_2 \gg 1$ (barrido rápido comparado con el tiempo de relajación).

En el curso de las determinaciones analíticas se observaron numerosos ejemplos de desviaciones aparentes de las cantidades teóricas relativas de varios tipos de hidrógeno en compuestos que se supone presentaban una pureza máxima. No obstante que para reunir las condiciones para las cuales la ecuación (8) es válida, se adicionó un integrador electrónico al aparato de RM usado.

Como no se sabía si estas desviaciones eran debidas a las condiciones incorrectas de operación ó a la composición deficiente del instrumento, ó bien simplemente a las impurezas que pueden estar presentes en la muestra, la exactitud del integrador usado, se determinó por medio de las magnitudes relativas de las integrales obtenidas para los protones con diferente desplazamiento químico en compuestos seleccionados y con una pureza ya establecida.

La serie de compuestos estudiados se encuentran en la Tabla XIII con sus respectivas purezas, tipos de protones, desplazamientos químicos y el porcentaje de hidrógeno teórico y experimental.

Tabla XIII. Resultados de la integración del espectro de RMN de hidrógeno perteneciente a compuestos puros.

Veloc. de barrido = 10 c.p.s./seg.

r.f. del campo = 0.1 miligaus.

Conc. aprox. 30 % v. en CCl_4 .

STRUCTURA	PUREZA (%)	TIPO DE PROTONES	DEPLAZAMIENTO QUÍMICO (ppm)	IDEAL (%)	EXPERIMENTAL (%)	DEVIACIÓN (%)
$\begin{array}{c} \text{CH}_3 \\ \\ \text{CH}_2-\text{CH}_3 \end{array}$ 1-TRANS-2-DIMÉTIL CICLOPROPANO	99.77	=CH ₂ , ANILLO	1.03 0.25	60.0 40.0	60.0 40.0	-0.1 +0.1
$\begin{array}{c} \text{CH}_3 \\ \\ \text{CH}_2-\text{CH}_3 \end{array}$	>99	=CH ₂ , ALQUÍLICO	0.75 4.00	8.0 10.7	8.1 10.7	+0.1 +0.2
$\begin{array}{c} \text{H}_3\text{C}-\text{CH}_2-\text{CH}_2-\text{CH}_3 \\ \\ \text{CH}_3 \end{array}$ 3,3-DIMÉTIL-1-BUTENO	99.89	=CH ₂ , ALQUÍLICO	5.3 0.0-1.0	14.3 83.7	14.2 83.8	-0.1 +0.1
$\begin{array}{c} \text{CH}_3-\text{CH}=\text{CH}-\text{CH}_2-\text{CH}_3 \\ \\ \text{CH}_3 \end{array}$ TRANS-2-HEPTENO	99.80	=CH ₂ , ALQUÍLICO	5.05 1.5-2.1	7.1 92.9	7.0 93.0	-0.1 +0.1
$\begin{array}{c} \text{CH}_2=\text{CH}-\text{CH}_2-\text{CH}_3 \\ \\ \text{CH}_3 \end{array}$ ETILIDENO CICLO HEXENO	99.80	=CH ₂ , ALQUÍLICO	5.20 1.7-2.3	10.0 90.0	10.0 90.0	0.0 0.0
$\begin{array}{c} \text{CH}_3-\text{CH}_2-\text{CH}_2-\text{CH}_3 \\ \\ \text{CH}_3 \end{array}$ 1-MÉTIL CICLO PENTANO	99.9*	=CH ₂ , =CH ₃ , ALQUÍLICO	5.60 4.93 1.5-3.4	8.3 10.7 75.0	8.3 10.7 75.0	0.0 0.0 0.0
$\begin{array}{c} \text{CH}_2=\text{CH}-\text{CH}_2-\text{CH}_3 \\ \\ \text{CH}_3 \end{array}$ ETENIL CICLO PENTANO	99.8	AROMÁTICO =CH ₂ , =CH ₃	7.05 7.03 3.12	50.0 20.0 30.0	50.0 19.8 30.1	-0.1 +0.2 +0.2
$\begin{array}{c} \text{CH}_2=\text{CH}-\text{CH}_2-\text{CH}_3 \\ \\ \text{CH}_3 \end{array}$ ETENIL BENENO	99.80	AROMÁTICO =CH ₂ , =CH ₃	0.81 2.13 1.60	101.0 29.0 32.0	101.0 29.0 32.0	-0.1 +0.1 +0.1
$\begin{array}{c} \text{CH}_2=\text{CH}-\text{CH}_2-\text{CH}_3 \\ \\ \text{CH}_3 \end{array}$ TETRALINA	~99	AROMÁTICO =CH ₂ , =CH ₃	7.05 5.8 3.0	50.0 10.0 20.0	52.2 9.0 19.7	+0.4 -0.7 +0.7
$\begin{array}{c} \text{CH}_2=\text{CH}-\text{CH}_2-\text{CH}_3 \\ \\ \text{CH}_3 \end{array}$ ETENIL BENENO	99.9*	AROMÁTICO =CH ₂ , =CH ₃	0.3-7.2 3.3	101.0 29.0 32.0	101.0 29.0 32.0	-0.1 +0.1 +0.1
$\begin{array}{c} \text{CH}_2=\text{CH}-\text{CH}_2-\text{CH}_3 \\ \\ \text{CH}_3 \end{array}$ ANILINA	99.91	=CH ₂ , =CH ₃ , =CH ₂	4.90 1.47 3.00	16.7 30.0 33.3	17.2 30.2 33.4	+0.3 +0.7 +0.3
$\begin{array}{c} \text{CH}_2=\text{CH}-\text{CH}_2-\text{CH}_3 \\ \\ \text{CH}_3 \end{array}$ ETANOL	99.91	=CH ₂ , =CH ₃ , =CH ₂	4.7 0.5 0.8-1.7	10.0 20.0 20.8	9.8 19.2 20.4	-0.2 +0.1 +0.3
$\begin{array}{c} \text{CH}_2=\text{CH}-\text{CH}_2-\text{CH}_3 \\ \\ \text{CH}_3 \end{array}$ BUTANOL	99.91	=CH ₂ , =CH ₃ , =CH ₂	7.05 1.21 0.11	28.6 32.8 72.4	28.8 32.6 71.2	+0.3 +0.1 -1.6
$\begin{array}{c} \text{CH}_2=\text{CH}-\text{CH}_2-\text{CH}_3 \\ \\ \text{CH}_3 \end{array}$ ETER PROPÓLICO	99.91	=CH ₂ , =CH ₃ , =CH ₂	3.3 0.11 0.2-1.4	21.2 21.2 73.4	21.4 21.2 73.4	+0.4 +0.1 +0.4
$\begin{array}{c} \text{CH}_2=\text{CH}-\text{CH}_2-\text{CH}_3 \\ \\ \text{CH}_3 \end{array}$ ETER BUTÓLICO	99.91	=CH ₂ , =CH ₃ , =CH ₂	7.05 1.21 0.11	28.6 32.8 72.4	28.8 32.6 71.2	+0.3 +0.1 -1.6

	$\text{H}-\text{CH}_2-$ ALQUÍLICO	1.2-2.5	21.0	48.8	+0.2	
 HOC—CH ₂ —CH ₂ —O— 4,4'-EPOXY PROPAÑO	1.22	21.0	48.7	+0.2		
 CH ₃ (CH ₂) ₅ —C(=O)—O—(CH ₂) ₃ —CH ₃ n-BUTYL HEPTANOATO	>99.5	O(=O)CH ₂ — TODOS LOS DEMAS	4.00 0.0-3.2	0.1 00.0	0.1 00.0	0.0 0.0
 CH ₃ CH ₂ —C(=O) DIETIL CETOÑA		CH ₂ —CH ₂ — —CH ₃	2.35 1.0	40.0 00.0	39.0 00.1	-0.1 +0.1
 HOC≡C—CH ₂ —CH ₃ BUTINO	>99	C≡C— CH ₃ —CH ₂	2.17 1.78 1.14	33.3 16.7 50.3	33.0 16.7 50.3	-0.3 0.0 +0.3
 PIRROLIDINA	A.P.I.	S—CH ₂ —NH ₂ CH ₃ CH ₂ CH ₃	2.83 0.0-1.0	10.0 00.0	10.0 00.0	0.0 0.0
 CH ₃ —CH(OH)—CH ₂ 2-BUTANOL	00.00	NH— ALQUÍLICO	1.69 1.40	10.0 00.0	9.5 00.1	-0.1 +0.1
 CH ₃ —S—CH ₂ —CH ₂ —CH ₃ 1-BUTYL MERCAPTANO	00.07	S—CH ₂ — CH ₃ —S —CH ₂ —CH ₃	2.4 0.0-2.0	20.0 00.0	19.4 00.0	-0.6 +0.6
 CH ₃ —S—CH ₂ —CH ₃ 2-MÉTIL THIO PROPANO		CH ₂ —CH ₃ —CH ₂ —CCl ₃	3.0 1.5	11.1 33.0	11.3 32.7	+0.2 +1.1
 CH ₃ —CH ₂ —CH(Cl)—CH ₃ 2-CLORO BUTANO		CH ₂ — CH ₂ —Cl	1.0	33.3 11.5	32.0 10.7	-1.3 -0.6
 CH ₃ —CH ₂ —CH ₂ —CH ₂ —CH ₂ —CH ₂ —CH ₂ —I 2-IOODO OCTANO		CH ₂ —I	3.15 1.30	11.5 33.2	10.7 32.7	0.0 -0.6
	ALQUÍLICO					

Los compuestos fueron seleccionados para dar un amplio rango de diferentes grupos de protones no equivalentes. Si observamos la Tabla XIII, veremos que el número de átomos de hidrógeno de cada tipo en un compuesto puro puede determinarse con gran exactitud, no sucediendo lo mismo para aquellos compuestos cuya pureza es menor de 95% pues el error aumenta al disminuir la pureza.

Los espectros del etanol y tetralina se integraron varias veces a con diferentes valores para la r.f. del campo, ésto se hizo para ver si la saturación selectiva se podía observar a valores altos de r.f., y también para determinar el rango óptimo de operación del poder de r.f..

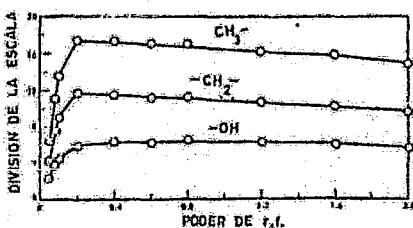


Figura 14. Efecto del poder de r.f. observado en las intensidades de las bandas integradas para etanol.

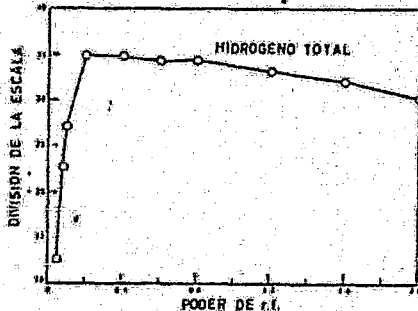


Figura 15. Efecto del poder de r.f. observado en la integral total para etanol.

En las figuras 14 y 15 se grafican las magnitudes de las señales - para cada tipo de protón y para el contenido total de hidrógeno - del etanol, contra los diferentes valores de r.f. para el campo. Gráficas similares pero correspondientes a la tetralina se muestran en las figuras 16 y 17.

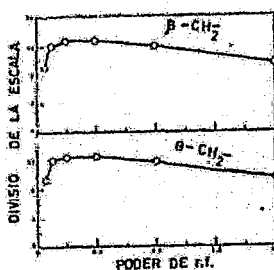


Figura 16. Efecto del poder de r.f. observado en las intensidades de las bandas integradas para tetralina.

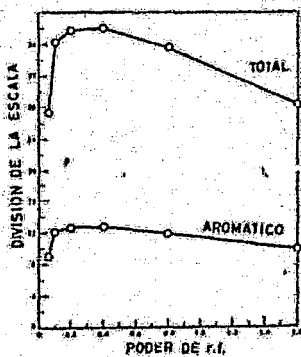


Figura 17. Efecto del poder de r.f. observado la integral total para tetralina.

En la Tabla XIV podemos observar el porcentaje de hidrógeno encontrado y la desviación que presenta en cuanto a los valores teóricos para cada tipo de hidrógeno del etanol, obtenidos de las integrales en las diferentes posiciones ó valores de r.f.

Tabla XIV. Resultados de la integración del espectro de etanol a varios niveles de poder de r.f.

Veloc. de barrido = 10 c.p.s./seg. Conc. aprox. = 30 % v. en CCl_4								
Poder r.f. mG	Tipo de protón	% de hidrog. encont. ^a	Desv. de lo teórico	Poder r.f. mG	Tipo de protón	% de hidrog. encont. ^a	Desv. de lo teórico	
0.05	$\text{CH}_3 -$	50.4	+0.4	0.6	$\text{CH}_3 -$	49.6	-0.4	
	$-\text{CH}_2 -$	33.1	-0.2		$-\text{CH}_2 -$	32.9	-0.7	
	$-\text{OH}$	16.5	-0.2		$-\text{OH}$	17.8	+1.1	
0.08	$\text{CH}_3 -$	49.6	-0.4	0.8	$\text{CH}_3 -$	49.1	-0.9	
	$-\text{CH}_2 -$	33.6	+0.3		$-\text{CH}_2 -$	32.3	-1.0	
	$-\text{OH}$	16.8	+0.1		$-\text{OH}$	18.6	+1.9	
0.1	$\text{CH}_3 -$	50.3	+0.3	1.2	$\text{CH}_3 -$	49.2	-0.8	
	$-\text{CH}_2 -$	33.6	+0.3		$-\text{CH}_2 -$	32.4	-0.9	
	$-\text{OH}$	16.2	-0.5		$-\text{OH}$	18.4	+1.7	
0.2	$\text{CH}_3 -$	49.9	-0.1	1.6	$\text{CH}_3 -$	49.2	-0.8	
	$-\text{CH}_2 -$	33.5	+0.2		$-\text{CH}_2 -$	32.1	-1.2	
	$-\text{OH}$	16.6	-0.1		$-\text{OH}$	18.7	+2.0	
0.4	$\text{CH}_3 -$	49.4	-0.6	2.0	$\text{CH}_3 -$	49.4	-0.6	
	$-\text{CH}_2 -$	32.8	-0.5		$-\text{CH}_2 -$	32.1	-1.2	
	$-\text{OH}$	17.8	+1.1		$-\text{OH}$	18.5	+1.8	

^a Teórico = 50.0 % en $\text{CH}_3 -$, 33.3 % en $-\text{CH}_2 -$, y 16.7 en $-\text{OH}$.

En la figura 18 podemos observar lo anterior graficamente, además podemos ver la evidencia de que la saturación selectiva conforme aumenta el nivel de radio frecuencia.

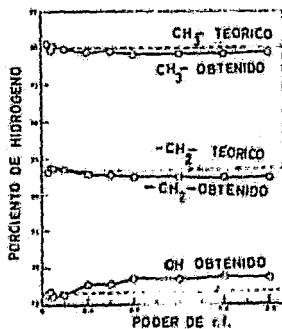


Figura 18. Efecto del poder de r.f. en el porcentaje de cada tipo de hidrógeno calculado para etanol.

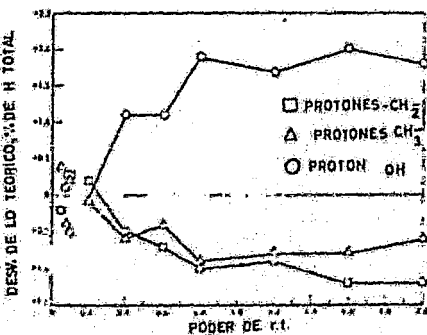


Figura 19. Efecto del poder de r.f. sobre los errores en los porcentajes de cada tipo de hidrógeno en etanol.

En la figura 19 podemos observar la gráfica que nos muestra la desviación que existe de los resultados con respecto a los valores teóricos para cada tipo de protones del etanol contra las diferentes posiciones o niveles de radio frecuencia.

Existe una tendencia definitiva en las curvas a demostrar la saturación selectiva a valores mayores de 0.2 miligaus para las posiciones de radio frecuencia.

Los datos correspondientes a la tetralina se encuentran indicados en la Tabla XV y la gráfica correspondiente nos la muestra la figura 20.

Tabla XV. Resultados de la integración de la tetralina a varios niveles de poder de radio frecuencia.

Veloc. de barrido = 10 c.p.m. /seg.
Cone. aprox. = 30 % v. en CHCl_3 .

Poder de r.f. MG.	Tipo de proton.	% de hidrógeno encont. %	Desv. de lo teórico.
0.06	Ar	32.8	- 0.5
	a- CH_2-	33.9	+ 0.6
	b- CH_2-	33.2	- 0.1
0.1	Ar	33.6	+ 0.3
	a- CH_2-	33.6	+ 0.3
	b- CH_2-	32.8	- 0.5
0.2	Ar	33.6	+ 0.3
	a- CH_2-	33.3	0.0
	b- CH_2-	33.1	- 0.2
0.4	Ar	33.6	+ 0.3
	a- CH_2-	33.3	0.0
	b- CH_2-	33.1	- 0.2
0.8	Ar	33.5	+ 0.2
	a- CH_2-	33.5	+ 0.2
	b- CH_2-	33.0	- 0.3
1.6	Ar	35.0	+ 1.7
	a- CH_2-	32.9	- 0.6
	b- CH_2-	32.1	- 1.2

Donde los valores teóricos son 33.3 % para cada tipo de protón.

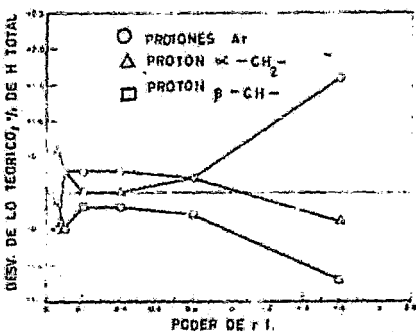


Figura 20. Efecto del poder de r.f. en los errores sobre los porcentajes de cada tipo de hidrógeno en la tetralina.

Los resultados obtenidos para la tetralina son similares a los que se encontraron para el etanol, exceptando la saturación selectiva, la cual no ocurre sino hasta que el nivel de r.f. se incrementa - a más de 0.8 miligaus y no a valores de 0.2 como sucede para el caso del etanol.

Un trabajo relacionado con el anterior, pero más reciente, fue hecho por J.P. Paulsen y colaboradores (30).

Dicho trabajo se refiere a la determinación cuantitativa de hidrógeno y fluor en compuestos orgánicos por medio de RMN. El método aquí usado a semejanza con el anterior se basa en la medición de las intensidades de las señales en forma cuantitativa, como ya quedó demostrado existe una gran exactitud en dicho método (28).

Este método se puede aplicar además a determinaciones elementales de hidrógeno y fluor, así como a otros componentes orgánicos elementales, aplicándose también a la determinación de grupos funcionales.

Existen cierta clase de grupos, como aquellos que poseen protones - aromáticos y metilénicos terminales cuyos picos de resonancia aparecen en regiones donde la interferencia es mínima que pueden determinarse por el método antes mencionado.

Dentro de los grupos funcionales, tenemos que el grupo aldehido experimenta también una pequeña sobreposición en el espectro, y su posición es favorable no obstante que su determinación presenta — mucho error, lo cual es atribuible a la dificultad de mantener estos compuestos en estado puro, ya que siempre aparecen pequeños — picos en sus espectros que nos indican que hubo una pequeña oxidación ó bien una polimerización.

Otra mayor dificultad que se presenta en la determinación de grupos funcionales por RMN, es el hecho de que muchos grupos importantes contienen hidrógenos intercambiables como son : -OH, -COOH, -NH, etc. Este problema se ilustra en la Tabla XVI.

Tabla XVI. Determinación cuantitativa de protones Acidos.

Muestra	Solvente	Moles Encont.	Moles Tomadas	% error
Ácido acético	CCl ₄	0.0763	0.0761	+0.3
Ácido propiónico	CCl ₄	0.0134	0.0136	-1.5
Ácido butírico	CCl ₄	0.01097	0.0110	-0.4
Ácido Valérico	CCl ₄	0.00875	0.00865	+1.1
Ácido ciclohexeno carboxílico	CCl ₄	0.01752	0.01767	-0.9
Ácido fórmico	CH ₃ CN	0.0291	0.0270	+8.2
Ácido benzoico	Acetona	0.0100	0.00652	+53
Ácido benzoico	Acetona	0.01050	0.00942	+11

Desv. est. = 0.5

El estandar interno usado fue benceno, excepto para el ácido benzoico en cuyo caso se usó (CH₃)₂SiCH₂Cl.

En la determinación del grupo carboxilo, el principal problema es - la interferencia que presenta con el agua la cual se puede observar prácticamente en las tres últimas determinaciones de la tabla anterior.

En general debido a la dificultad que existe para aislar los picos resultantes en el espectro de RMN y el problema del intercambio de protones, solamente se pueden determinar pocos grupos funcionales. En cuanto a los resultados obtenidos para la determinación de fluor en forma elemental por ICP, están resumidos en la Tabla XVII.

Tabla XVII. Determinación de fluor elemental en moléculas orgánicas.

Solvente usado CCl_4 ; Estandar interno, fluorobenceno.

Compuesto	Conc. aprox. de fluor M	Zen peso de fluor Teórico	Zen peso de fluor Encont.	Error relativo.
m-Bromo-, , trifluorotolueno	6	25.3	25.7	+1.6
m-diclorobenceno	2	33.3	33.2	-0.3
2,3-dicloro-octafluorobutano	2	45.25	42.1	-0.4
Ácido trifluoro acético	3	50.0	49.7	-0.6
Mescla de 1,2-dicloro tetrafluoropropeno cis y trans	4	41.5	40.4	-2.6
2,2,3,3-tetracloro hexafluorobutano	0.5	37.5	38.2	+1.8
1,2-dicloro octafluorociclohexeno ¹	0.8	50.7	51.3	+1.2
Mescla de 2,3-dicloro hexafluorobuteno 2 cis y trans	2	48.8	47.8	-2.0

¹ Se usó como estandar interno m-bromo-, , trifluorotolueno.

Este método empleado para la determinación de fluor, es particularmente significativo si consideramos la dificultad que presenta su determinación en compuestos orgánicos por métodos convencionales. La exactitud del método depende en parte de la concentración de las muestras usadas, la cual debe ser como mínimo de 1 M, los resultados a éste respecto se muestran en la Tabla XVIII. Al nivel de 0.1 M el error se incrementa hasta cerca de un 10 %.

Tabla XVIII. Efecto de la concentración en la exactitud para la determinación de fluor.

Compuesto	Conc. aprox. de F, M.	% en peso de fluor.	Error relat.
Ácido trifluoro acético	32	50.0	+1.2
	2.6	49.7	-0.6
	0.07	44.4	-11.2
<i>n</i> - bromo - , , trifluoro tolueno	6.0	25.3	+1.6
	0.1	23.3	-7.9

En cuanto a la cantidad de muestra necesaria para un análisis excepto en este caso depende por supuesto, del peso molecular del compuesto que lo posea y el número de átomos de fluor presentes en él.

La determinación de fluor como grupo funcional presenta también serios problemas, ya que de hecho no existe un método para su determinación cuantitativa en forma química.

En su determinación por RM los desplazamientos químicos que presenta en el espectro son considerablemente grandes entre el fluor y los demás protones, lo cual facilita su determinación. La Tabla IX nos muestra los resultados cuantitativos para tres de los compuestos que lo poseen en forma de grupo funcional.

Tabla XIX. Determinación de fluor como grupo funcional.

Grupo	Compuesto	% en peso de F Teórico	% en peso de F Encont.	Error relativo.
CF_3	2,3-dibromo octafluoro butano	31.7	31.5	-0.6
	1,2- dicloro tetrafluoro propeno	31.2	30.2	-3.2
CF_2	1,2-dicloro octafluoro hexeno (grupos 1,6 CF_2)	25.7	25.5	-0.8
CF	2,3-dibromo octafluoro butano	10.55	10.63	+0.4
	Dicloro tetrafluoro propeno	10.41	10.22	-1.8

En otro estudio hecho por los mismos investigadores (31) se propone un método para la determinación cuantitativa de hidrógeno activo - basado en la reacción de intercambio con agua deuterada y la determinación de éste intercambio por RMN.

Las ventajas del método propuesto es que no es destructivo, además es más preciso que los métodos convencionales pudiéndose aplicar a los grupos menos reactivos , tales como el hidrógeno acetilénico y los grupos CH_2 , CO -.

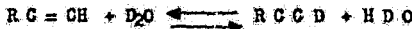
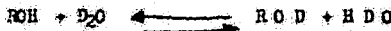
El presente método se semeja a los demás métodos convencionales en que depende también de una reacción que incluye el grupo activo, - en este caso el reactivo es el agua pesada y el producto de reacción da lugar a la desaparición de un pico en el espectro de RMN a 60 Mc/seg, el cual resulta del intercambio de protones.

Cuando una muestra contiene dos tipos diferentes de protones, los cuales cambian de lugar rápidamente, solamente se observa una señal en el espectro, representando a las áreas combinadas.

El pico resultante aparece en una posición apropiada entre los dos picos originales (22).

En el método propuesto, los protones que dan lugar al pico en el espectro son determinados cuantitativamente y además se usan como una medida del hidrógeno activo presente en la muestra, además existe un equilibrio en la distribución de los protones entre el sitio activo y el agua pesada, produciendo un pico simple en el espectro de RMN, el cual contiene todo el hidrógeno activo.

El curso de la reacción del agua pesada con un grupo que contiene un hidrógeno activo puede ilustrarse por medio de las siguientes ecuaciones, las cuales son típicas de esta clase de reacciones :



El método para la determinación de los protones en el pico que corresponde al pico del hidrógeno activo - agua, se describió ya con anterioridad (23). Para calcular el hidrógeno activo tenemos la siguiente fórmula :

$$\text{Moles de hidrógeno activo} = B \left[1 + \frac{A}{C - B} \right]$$

Donde:

A = Moles totales de hidrógeno en el pico del agua después del intercambio, determinada por el área del pico proporcional al tiempo y a los gramos equivalentes de protones en el estandar interno.

B = A la cantidad de A corregida para las moles de protones presentes originalmente en el agua deuterada (D_2O) = a la cantidad de H y D intercambiadas.

C = Moles de deuterio adicionadas a la muestra.

La proporción de H/D en el agua = $A/(C - B)$

La ecuación anterior no es válida cuando la muestra contiene hidrógenos activos de intercambio lento y rápido, debiéndose además de tomar precauciones en la preparación de la muestra que se analiza para evitar que el error propio del método aumente.

Los resultados obtenidos se presentan en la Tabla XI, para obtenerlos se deben de tomar en cuenta varios factores como velocidad de intercambio, miscibilidad, y la sobreposición de los espectros — además con éstos resultados se puede determinar también el % en peso del hidrógeno activo en la muestra.

Tabla XI. Determinación de hidrógeno activo en compuestos orgánicos.

Muestra	Veloc.	Número de H activo por mol Teórico	% Encant.	% de error
Metanol	rápida	1	1.00	0.0
Ácido p-amino benzoico	rápida	3	3.04	+ 1.3
2-amino etanol	rápida	3	3.07	+ 2.3
1,3-butanodiol	rápida	2	1.92	- 4.0
Distil malonato ¹	lenta	2	2.00	0.0
Acetoacetato de etilo ¹	lento	2	2.02	+ 1.0
Acetamida	lenta	2	2.04	+ 2.0
Resorcinol	lenta	2	2.01	+ 0.5
Resorcinol ¹	rápida	2	2.06	+ 3.0
Penil acetileno ^{1,2}	lenta	1	0.95	- 5.0
Acetona ^{1,2}	lenta	6	5.89	- 1.8

¹ usando piridina como catalizador; ² usando como catalizador — LiOD disuelto en D_2O .

APLICACION A PRODUCTOS FARMACEUTICOS.

Dentro del campo de productos farmacéuticos D.P. Hollis desarrolló un método para la determinación cuantitativa de aspirina, fanacetina y cafeína (AFC) en mezclas de productos por medio de la RMN, (33).

Como sabemos existen diferentes métodos mediante los cuales es posible llevar a cabo el análisis de mezclas de AFC en analgésicos, dichos métodos pueden ser: extracción, cromatografía ó bien por métodos espectrométricos dentro de los cuales tenemos el infrarrojo, ultravioleta y RMN. El tiempo en que se lleva a cabo el análisis es igual para los tres, pero al usar el de RMN - se presenta la ventaja de que es el más directo en cuanto a la separación que se obtiene de los picos conocidos para cada uno de los componentes de las mezclas, y es posible realizar el análisis en forma cuantitativa.

Además se presenta la ventaja de que los picos que se obtienen presentan absorciones protónicas constantes y no se ven afectadas por disolventes ó por interacciones entre los solutos presentes.

En el presente trabajo se usó como estandar de referencia para las determinaciones cafeína en solución.

Los espectros obtenidos para la aspirina, fanacetina y cafeína en solución de CDCl_3 , se pueden observar en las figuras 21, 22 y 23.

En la figura 24 se presenta el espectro de RMN de una tableta comercial que presenta en su formulación a los tres componentes en estudio.

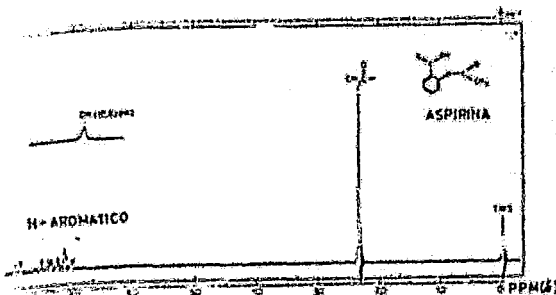


Figura 21. Espectro de RMN de la aspirina.

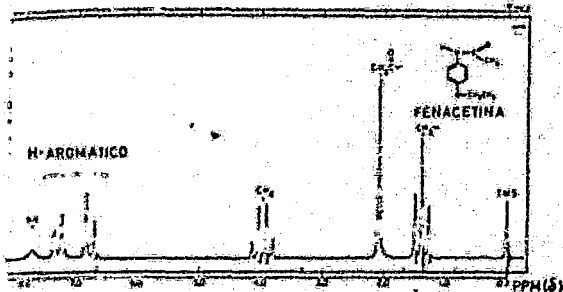


Figura 22. Espectro de RMN de la Fenacetina.

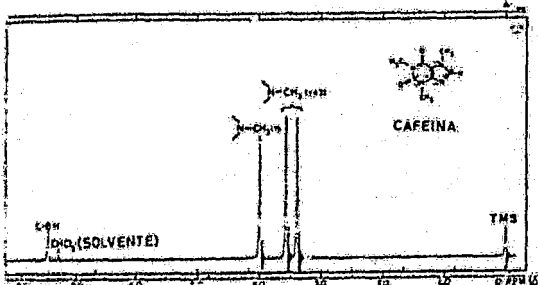


Figura 23. Espectro de RMN de la cafeína.

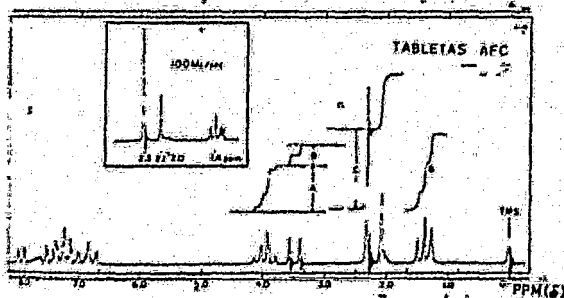


Figura 24. Espectro de RMN de una mezcla de aspirina, fenacetina y cafeína.

A. Aspirina

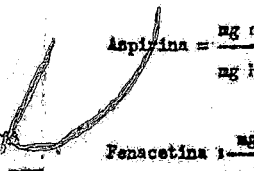
C. Cafeína

B. Fenacetina

Para la aspirina la señal fina que aparece alrededor de 2.3 ppm y la cual corresponde al metilo del grupo éster, es la que se eligió como señal analítica. Para la fenacetina se eligió como señal analítica el cuartete que aparece en 4.0 ppm, el cual corresponde al metileno del grupo étilo.

También se puede considerar la señal alrededor de 2.1 ppm como debida al grupo metilo de la maida, éste pico sobresale a los otros y se resuelve claramente en el espectro obtenido a 100 Mc/seg (fig. 24), en dos señales, las cuales se atribuyen a la existencia de isómeros rotacionales pertenecientes a la unión -C-N-.

El número de miligramos de cada componente por cada milígramo de muestra se puede calcular de la siguiente manera:



$$\text{Aspirina} = \frac{\text{mg Asp.}}{\text{mg Muestra}} = \left[\frac{C}{I_{\text{caf}}} \right] \times \left[\frac{\text{P.M. Asp.}}{\text{P.M. Caf.}} \right] \times \left[\frac{\text{mg caf}}{\text{ml sol. Est.}} \right] \times \left[\frac{0.500 \text{ ml}}{\text{mg Muestra}} \right] \quad (1)$$

$$\text{Fenacetina} : \frac{\text{mg Fen.}}{\text{mg Muestra}} = \left[\frac{1 - \frac{1}{2} (B - 0.0055 C)}{I_{\text{caf}}} \right] \times \frac{3}{2} \times \left[\frac{\text{P.M. Fen.}}{\text{P.M. Caf.}} \right]$$

$$\left[\frac{\text{mg caf}}{\text{ml sol. Est.}} \right] \times \left[\frac{0.500 \text{ ml}}{\text{mg Muestra}} \right] \quad \dots \dots \quad (2)$$

$$\text{Cafeína} : \frac{\text{mg caf}}{\text{mg Muestra}} = \left[\frac{\frac{1}{2} (B - 0.0055 C)}{I_{\text{caf}}} \right] \times \left[\frac{\text{mg caf}}{\text{ml sol. Est.}} \right] \times \left[\frac{0.500 \text{ ml}}{\text{mg Muestra}} \right] \quad (3)$$

Donde A, B, C, son los valores de las integrales como se muestra en la figura 24, y se pueden medir arbitrariamente en unidades también arbitrarias.

I_{caf} corresponde a la integral de un grupo metilo de la muestra estandar de cafeína, aspirina y fenacetina. El término 0.0055 representa la corrección de la señal del carbono -13 de la aspirina, el que presenta una posición debajo del pico del CH_3 - de la cafeína a 3.4 ppm.

Los resultados se obtuvieron sacando el promedio de siete lecturas en los espectros, en la Tabla XXI tenemos los resultados obtenidos con varias concentraciones conocidas de mezclas de AFC, también se incluyen los resultados obtenidos con dos tabletas comerciales.

Tabla XXI. Análisis por RHM de mezclas de AFC.

mg/adic./ml ó mg/tableta			ENCONTRADO POR RHM			% de error absoluto		
ASP	FEN	CAF	ASP	FEN	CAF	ASP	FEN	CAF
20.0	...	8.0	20.0	...	8.2	0	0	2.5
20.0	30.0	...	35.7	...	8.2	0	0.8	1.7
20.0	20.0	8.0	35.4	8.2	0	1.7	2.5	2.7
40.0	42.6	7.3	40.5	33.8	7.0	0.25	3.7	2.3
29.8	22.6	8.6	29.2	21.4	8.4	2.0	2.7	2.3
41.6	37.6	9.0	41.1	36.6	8.7	1.2	2.7	2.3
40.2	31.6	8.0	39.6	40.0	6.3	3.0	3.5	4.5
29.7	30.8	5.4	29.8	30.6	5.1	0.41	0	5.2
28.2	22.8	10.0	28.3	23.4	10.6	1.5	1.3	2.7
22.0	16.2	32.4	21.7	16.5	30.0
22.0	16.2	32.4	21.9	17.4	31.0
22.0	16.2	32.4	22.1	16.1	31.1
22.0	16.2	32.4	21.9	17.1	31.4

Descripción de las muestras:

1. Aspirina (CHCl_3)
2. Cafeína (CHCl_3)
3. Fenacetina (CHCl_3)
4. Mezcla de AFC (CHCl_3)
5. Mezcla de AFC (CHCl_3)
6. Mezcla de AFC (CDCl_3)
7. Mezcla de AFC (CDCl_3)
8. Mezcla de AFC (CDCl_3)
9. Mezcla de AFC (CDCl_3)
10. Mezcla de AFC (CDCl_3)
11. Tableta A, AFC (CHCl_3)
12. Tableta B, AFC (CHCl_3)
13. Tableta A, AFC (CDCl_3)
14. Tableta B, AFC (CDCl_3)

La exactitud de los resultados obtenidos dependen de la cantidad de cada componente presente en la muestra. Las mezclas que se resumen en la Tabla XXI cubren el rango de composición usual encontrada en las preparaciones farmacéuticas comerciales.

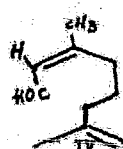
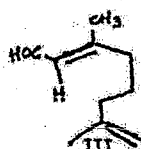
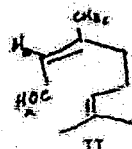
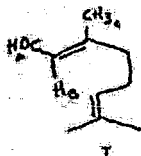
El promedio de las desviaciones del valor correcto para todas las mezclas conocidas son los siguientes : aspirina 1.1 %; fenacetina 2.2 %; cafeína 3.2 %.

Esto nos demuestra que la RMN puede usarse para analizar preparaciones comerciales de AFU, con una exactitud suficiente como para emplearse en control de calidad, además los resultados obtenidos son comparables con los obtenidos por otros métodos espectrométricos.

Otra de las aplicaciones dentro del mismo campo analítico la tenemos en la determinación de componentes de mezclas de aceites esenciales, en el estudio hecho por P. Joseph-Nathan y colaboradores (34), en el cual llevó a cabo la evaluación de mezclas de geranial y neral por medio de la RMN.

Como sabemos el citral es uno de los componentes más importantes de los aceites esenciales, especialmente de aquellos que se obtienen de la especie *Citrus*.

El citral puede existir en cuatro formas isoméricas geométricamente, las cuales son : geranial (I) y neral (II), los cuales se conocen comúnmente como citral - α -y citral β , respectivamente; y el α -geranal (III) y el α -neral (IV), (35). Los isómeros antes mencionados presentan la siguiente estructura:



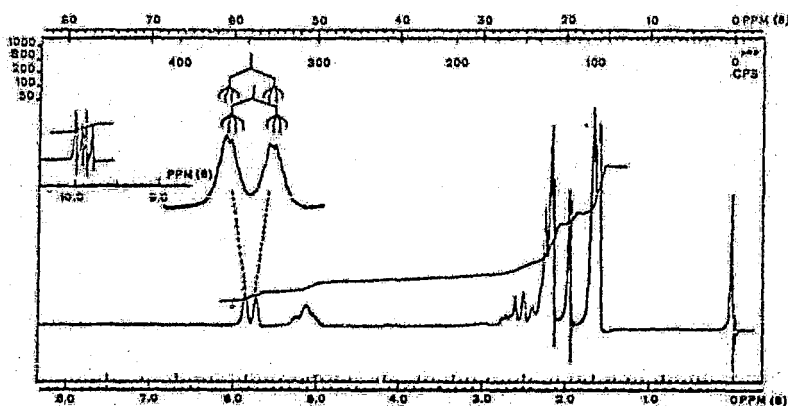


Figura 25 . Espectro de RMN del citral.

En el espectro obtenido (Fig. 25) se presenta duplicidad de varias señales características y la medición adecuada de las constantes de acoplamiento. Estas señales combinadas con las intensidades relativas de las mismas, permiten asignar convenientemente la posición de absorción de cada grupo de la mezcla en el espectro.

La presencia de dos señales dobles, cuya constante de acoplamiento es $J_{AB} = 8$ c/s, y que se encuentra centrada en $\delta = 9.93$ y 9.85 , es debida a los protones aldehídicos del geranial (I) y del nerual (II) respectivamente.

La otra señal doble aparece con una constante de acoplamiento $J_{BC_3} = 1.1$ c/s centrada en $\delta = 2.15$, ésta se asignó a los protones del metilo vinílico del geranial (I), mientras que el mismo sustituyente del nerual (II) muestra una señal doble a $\delta = 1.97$ ($J=1.2$)c/s).

La multiplicidad de una señal centrada en $\delta = 5.78$, corresponde al H_2 de ambos citrales .

Mientras que la señal ancha que aparece entre δ 4.9 y 5.30 y dos señales simples en δ 1.66 y 1.60, son asignadas al protón vinílico y al grupo dimetilo de la mezcla.

Los protones alifáticos restantes de los citrales aparecen entre δ 2.28 y 2.15. En la mezcla en estudio se encontró que no hay evidencia para sospechar la presencia de α -geranial (III) o de α -neral (IV).

La interpretación anterior difiere de otra realizada anteriormente (36), en la que los metilos del isopropilideno del citral- α , separado del citral- β , fueron interpretados como un doblete ($J = 3$ c/s) en $\delta = 1.65$ suponiéndose que se trataba de la interacción de un protón aldehídico ($J = 7.8$ c/s) con un protón olefínico ($J \approx 8.4$ c/s).

La evaluación cuantitativa de las mezclas I y II se efectúa como sigue: la fracción mol de nerál (II), se obtiene dividiendo el área integrada bajo la señal doble centrada en $\delta = 1.97$, entre la mitad del área integrada por la suma de las señales simples en δ 1.66 y 1.60. La fracción mol del geranial (I) se obtiene por diferencia con la unidad.

Debido a que la señal localizada en δ 1.97 no está sobrepuesta con otra señal y que las bandas de absorción de hidrógenos unidos a carbonos, no sufren desplazamientos por concentración, la evaluación cuantitativa puede hacerse aún cuando la composición sea baja en alguno de los componentes.

Otro método para determinar la composición de la mezcla consiste en dividir el área integrada bajo el doblete centrado en δ 9.85, que corresponde al protón aldehídico del nerál (II), entre el área del doblete del mismo grupo funcional del geranial (I), que aparece cen-

trada en δ 9.93. Como éstos dos dobletes tienen un desplazamiento químico tal que a primera vista parecen ser un cuadruplete, pueden también compararse las integraciones de una de las ramas de cada doblete, siempre y cuando la comparación se efectúe entre las ramas del campo más alto a las de campo más bajo.

Otro estudio interesante dentro del mismo campo farmacéutico, es el que se refiere a la determinación directa por RMN de la proporción de amina libre con respecto a su sal, así como la correlación de ácidos, desarrollado por Stanley A. Koch y colaboradores (37).

El estudio se llevó a cabo con las siguientes aminas : pirilamina, metapirileno, d-l- desoxiefedrina y difenhidramina, junto con una ó más de sus sales como clorhidratos, nitratos percloratos, maleatos y p-toluensulfonatos. Todas éstas aminas son de tipo alifático con uno ó más grupos N-metílicos. Los espectros de RMN de éstos compuestos nos muestran que el desplazamiento químico de los grupos N-metílicos es lineal, dependiendo de la fracción de base libre y moléculas de sal presentes, esto nos proporciona un método de determinación directa de la proporción de amina y su sal.

Estas observaciones coinciden con las hechas originalmente por Gutowsky (38) y Masuda (39), demostrando que un rápido intercambio químico entre especies químicas presentes en una mezcla y que contribuyen a una misma línea de absorción, produce una relación lineal entre la variación del desplazamiento químico y la fracción de protones. Esta variación puede ser correlacionada con la fuerza relativa del ácido incluido en la formación de la sal, en un disolvente en el cual éstos ácidos normalmente se consideran

insolubles.

Algunos autores (40 - 45) han difundido y aplicado éste método y el fenómeno que incluye, usualmente en consideración al intercambio de protones en soluciones acuosas. Al verificar la relación lineal antes mencionada (43), se correlacionó con la fuerza relativa de los ácidos incluyendo la formación de la sal en un solvente (CHCl_3) en el cual se consideran normalmente insolubles.

Las determinaciones se llevaron a cabo con muestras comerciales de aminas, como son: clorhidrato de metapirileno, maleato de pirilamina, clorhidrato de d,l-desoxiefridrina y clorhidrato de difenhidramina, las cuales se utilizaron sin una purificación posterior.

En general, todas las bases de nitrógeno orgánico estudiadas producen sales solubles en cloroformo. Los espectros de RMN de cada base y de su sal correspondiente reflejan después de la formación de la sal, el desplazamiento característico a bajo campo de los grupos de protones $\text{no } \text{14Hiles}$ situados adyacentemente al nitrógeno protonado.

La extensión de los desplazamientos totales en éste caso dependen de a) la basicidad de la amina; b) de la naturaleza del ácido incluido en la formación de la sal y c) de la proximidad de las señales de los protones al sitio básico.

Cuando se encuentran presentes ambas formas de la amina, ó sea la amina libre y su sal en la misma solución de CHCl_3 , aparecen como un solo grupo en resonancia, y el desplazamiento químico resultante en cualquier mezcla, se puede expresar de la siguiente forma:

$$\delta_m = \delta_L + (\delta_S - \delta_L) X_S$$

Donde δ_L y δ_S = a los desplazamientos químicos de la amina y su sal.

en estado puro respectivamente.

$X_s = a$ la fracción mol de la sal presente (42).

En la Tabla XIII podremos observar los resultados obtenidos para el análisis comparativo de mezclas de amina libre y la sal correspondiente de la difenhidramina.

Como podemos observar, los valores obtenidos por RMN son más altos que los obtenidos por otros métodos. Esta diferencia de valores se puede deber a una pequeña cantidad de otra sal que se encuentre presente, además del clorhidrato, y que pueda contribuir al desplazamiento a campo bajo en el espectro de RMN correspondiente, no obstante ésto, el método da resultados más exactos en el porcentaje de base libre.

Tabla VIII. Análisis comparativo de mezclas de base - sal de difenhidramina.

Muestra	NMR	% de sal en CHCl_3 UV y titulación con AgNO_3	% de dif.
A	64.0	62.5	2.3
B	71.4	69.0	3.4
C	76.0	74.9	1.4
D	79.1	78.7	0.6
E	82.8	82.2	0.7

En la Tabla XIII podremos observar los datos correspondientes a los desplazamientos químicos de los grupos $\text{N}-\text{CH}_3$ en solución, provenientes de sales purificadas de difenhidramina, las cuales son características para cada sal en particular.

Tabla XXXIII. Dados espectrales de RMN para sales de difenhidramina.

Sal	N M R (H-Me relativo a TMS)	
	cps	ppm
HCl	171.4	2.86
HBr	171.8	2.86
HI	171.6	2.86
HNO ₃	174.4	2.91
HTos	175.0	2.92
HClO ₄	178.0	2.97

No obstante la especificidad que presenta el método, podemos abrigar la posibilidad de establecer un orden relativo de fuerza de ácidos, en cloroformo para cada uno de los ácidos incluidos en la formación de la sal.

Este orden de fuerza de acidez, se ha tratado de comprobar por otros métodos como son espectroscopía de infrarrojo (46) y los datos obtenidos concuerdan con los de RMN.

En el campo de los esteroides P.J. Nathan y colaboradores (47) hicieron una determinación analítica cuantitativa por RMN de la concentración de progestágenos en preparados farmacéuticos, conocidos como anovulatorios esteroidiales.

Dichos preparados farmacéuticos consisten generalmente de un estrógeno que presenta el anillo A aromatizado, y de un progestágeno Δ^3 -ceto ó bien $\Delta^{5(6)}$ -ceto. La determinación cuantitativa de estas moléculas de esteroides, se basa en la diferencia que existe entre los desplazamientos químicos de los protones aromáticos y vinílicos.

El compuesto estrogénico muestra en los espectros de RMN la presencia de señales debidas a tres protones aromáticos, ya que las otras posiciones restantes en el anillo se encuentran ocupadas, dos de ellas por la fusión con el anillo B y la otra con un grupo oxídrilo 6 metoxilo.

En tanto los compuestos Δ^4 -3-ceto muestran la presencia de un protón vinílico perteneciente al carbono 4. Por su parte los derivados $\Delta^{5\alpha}$ -3-ceto, se pueden convertir fácilmente (48) en forma cuantitativa en compuestos Δ^4 -3-ceto y ser cuantificados como éstos últimos. Las señales que se usan para la determinación cuantitativa de ambos compuestos son las señaladas.

Tabla XXIV. Datos analíticos de Resonancia Magnética Nuclear, de los asteroides en estudio, en ppm (δ) respecto al TMS ref. int.

Compuesto	C ₁	C ₂	C ₃	C ₄	C ₅	C ₆	C ₇	Átomo	Nr(C)
Ia	5.13	6.65	6.59	4.72	0.6	—	—	—	Me(n-Bu); 0.9 (i)
Ib	7.11	6.63	6.77	4.70	0.61	—	—	—	ClCH ₂ CH ₃ ; valle 5.75 y 6.2
IIa	7.12	6.61	6.55	—	0.60	—	2.69	—	—
IIb	7.20	6.73	6.62	—	0.60	—	2.61	—	—
IIIa	—	—	5.85	—	0.91	—	2.39	—	Oleo 1.39 (i)
IIIb	—	—	5.71	—	0.94	—	3.03	1.97	—
IV	—	—	—	—	0.66	—	2.07	—	ClH ₂ (C ₂) ₂ ; 1.75 (i)
V	—	—	5.26	—	0.65	1.21	2.07	—	Me(α-Fc); 0.93 (i)
VI	—	—	6.31	—	0.71	1.36	2.01 s	2.01 s	ClH ₂ (C ₂) ₂ ; 0.33 (i)
VII	—	—	5.50	—	0.66	1.21	2.01 s	2.01 s	1.04
VIII	—	—	5.70	—	0.69	1.23	—	—	1.05 Me(C ₂ H ₅) ₂ ; 1.60 (i)

En la Tabla XXIV se pueden observar los desplazamientos químicos de las señales más características de cada compuesto con respecto al TMS usado como referencia interna. Además de estos desplazamientos químicos, existen ciertas multiplicidades que pueden o no estar presentes, y las cuales caracterizan a las señales. La combinación de ambos factores debe de considerarse para efectuar evaluaciones cualitativas y cuantitativas.

De la interpretación detallada de los espectros de RMN se puede observar que los protones del estrógeno y el protón vinílico del progestágeno aparecen a campos diferentes.

Tomando en cuenta las consideraciones anteriores, podemos concluir que de la integración de la área bajo la curva de las diferentes señales obtenidas, se puede calcular directamente la cantidad de cada componente en la mezcla. Ahora si además dicha mezcla es adicionada de un estandar de referencia interna, como puede ser un tercer componente, cuyas señales tengan desplazamientos químicos tales que no se sobrepongan con las demás señales de los componentes por analizar, es posible calcular directamente las cantidades del progestágeno y del estrógeno presentes en la mezcla analizada.

En la figura(26) podemos observar las señales características de una mezcla de estrógeno y progestágeno con m-dinitro benceno adicionado a ella .

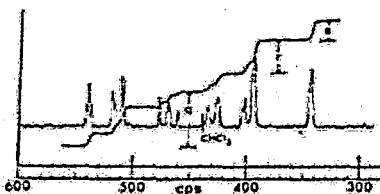
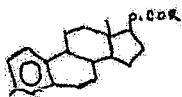


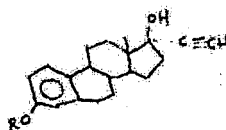
Figura 26. Espectro de RMN parcial de una mezcla de m-dinitro benceno, un progestágeno y un estrógeno - (en CDCl_3 con TMS ref. int.)

Las muestras de esteroides analizados presentan compuestos que tienen la siguiente estructuras:



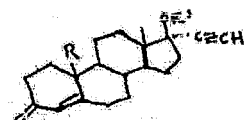
Ia. $R = n - C_6H_5$

Ib. $R = n - (CH_2)_8 - CH=CH_2$



IIa. $R = H$.

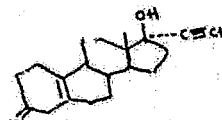
IIb. $R = Me$



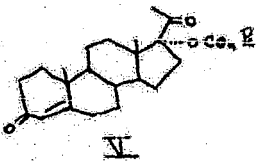
III a. $R = H, R' = H$

b. $R = H, R' = Ac$

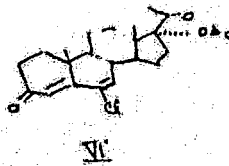
c. $R = Me, R' = H$



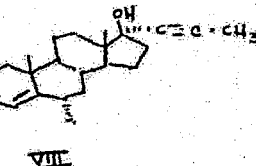
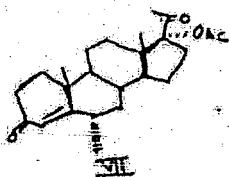
IV



V



VI



VII

Para calcular desde un punto de vista general los miligramos de estrógeno ($\text{mg } \text{g}$), y del progestágeno ($\text{mg } \Delta^4$), se pueden aplicar las siguientes ecuaciones :

$$\text{m}_g = \frac{M_g \cdot n_g \cdot n_1 \cdot r}{M_g \cdot n_g \cdot q}$$

$$\text{m } \Delta^4 = \frac{M \Delta^4 \cdot n_g \cdot n_2 \cdot s}{M_g \cdot M \Delta^4 \cdot q}$$

Donde: M = Pesos moleculares.

m = Miligramos.

n = Número de protones integrados.

q, r, s = Altura de las integraciones.

g, Δ^4, s = Subíndices usados para identificar al estrógeno, aromático, progestágeno y estándar respectivamente.

Otra forma de efectuar los cálculos puede ser aquella en la que se considera la integración de uno, dos, o tres de los protones del estándar. En la figura(26) además del espectro parcial, podemos observar la curva de integración del área bajo las señales de resonancia, en las cuales la magnitud "q" representa el área bajo las señales de los cuatro protones del $\text{n}-\text{nitrobenceno}$; "r" corresponde al área de los dos protones del estrógeno y "s" corresponde al área de los protones vinílicos del progestágeno, que dependiendo del compuesto pueden ser uno o dos.

Las mezclas de los compuestos analizados y los disolventes usados se resumen en la Tabla XIV.

Tabla XXV. Análisis efectuados por RMN.

Mérida	Componente	Fórmula	Diluyentes
1	Cáprato de hidroxiungüetílico	(V)	$\text{CDCl}_3 + \text{D}_2\text{O}$
	Valerato de estradiol	(II)	
2	Acetato de norclostetona	(IIIb)	$\text{Me}_2\text{CO}-d_6$
	Etiloil estradiol	(IIIa)	
3	Acetato de androstanopropionato	(VIb)	$\text{CDCl}_3, \text{Me}_2\text{CO}-d_6(1:1)$
	Etiloil estradiol	(IIIb)	
4	Dantroléptona	(VIII)	$\text{Me}_2\text{CO}-d_6$
	Etiloil estradiol	(IIIa)	
5	Estragol	(IIIc)	No se encontró disolvente adecuado
	Etiloil estradiol	(IIIb)	
6	Nortestosterona o norclostetona	(IIIa)	COCl_2
	Metranol	(IIIa)	
7	Nortestosterol	(IV)	$\text{CDCl}_3 + \text{HCl}$
	Metranol	(IIIb)	
8	Acetato de alormadimona	(VI)	CDCl_3
	Metranol	(IIIb)	

Por otra parte es posible establecer por medio de las multiplicidades de las señales, desplazamientos químicos e integraciones de las señales de RMN, la naturaleza de los ácidos de cadena lineal que esterifican a los grupos oxidrilo de las moléculas esteroideas, existiendo dos casos generales, que son cuando el éster está formado con un ácido saturado y cuando lo está con un ácido no saturado.

En el primer caso, para determinar las señales de los protones de la cadena del ácido, se establece por diferencia con el número de protones integrados para la parte esteroidal, dicha diferencia nos proporciona el número de hidrógenos contenidos en la cadena del ácido, con lo cual se puede definir su naturaleza, ésto es aplicable también a los compuestos cuya estructura corresponde a I_a y V - de los mencionados anteriormente.

En el caso en el que el ácido esterificante posee insaturaciones, es posible establecer su naturaleza si se la presencia de doble (α) ligaduras efectuando consideraciones semejantes a las usadas en la determinación del número de iodo en triglicéridos (49), así como la determinación del tamaño de la cadena.

por medio de integraciones.

La exactitud de las evaluaciones cuantitativas efectuadas por medio de la RMN, puede estimarse a groso modo en $\pm 2\%$ en condiciones normales del aparato.

Otro trabajo sumamente interesante que apareció recientemente, fue el desarrollado acerca de mezclas de sulfas en productos farmacéuticos sólidos y líquidos (49.1). La ventaja de la determinación de sulfas por RMN consiste en que se pueden determinar solos o en mezclas, y en el caso particular de formas farmacéuticas, no es necesario hacer una separación de los componentes de éstas, pues no interfieren ni excipientes, colorantes, etc., lo cual no sucede por medio de su determinación por otros métodos, además la exactitud obtenida es considerablemente buena.

De los resultados obtenidos tenemos un resumen en la Tabla XIVa, dichos valores se obtuvieron por medio de la aplicación de la siguiente fórmula, la cual ya se había sido mencionada:

$$B_2 = \frac{M_2 \cdot n_2 \cdot r \cdot n_0}{M_0 \cdot n_0 \cdot q}$$

Obteniéndose directamente el número de miligramos de cada componente.

Tabla XIVa. Valores obtenidos para sulfonamidas en mezcla.

Muestra	mg usados	mg obtenidos por RMN	% error absoluto
Sulfatianol	55.0	58.19	+ 2.0
Sulfadiazina	55.0	54.85	+ 0.6
Sulfadimetoxina	55.0	57.71	+ 4.9
Sulfamerazine	55.0	55.63	+ 1.1

OTRAS APLICACIONES.

Dentro de las aplicaciones a diferentes determinaciones tenemos, el estudio hecho por P.W. Flanagan (50), en el cual por medio de la aplicación de la RMN de alta resolución se identificó y se hizo un análisis de surfactantes no iónicos.

Como sabemos los detergentes no iónicos disponibles comercialmente están representados por un número de condensados de óxido de etileno, - ésta clase de detergentes son los que se estudiaran en el presente trabajo.

Generalmente éstos condensados tienen bases hidrófobas de fenoles alquilicos, alcoholes grasos, aminas ó amidas y usualmente se fabrican para una aplicación específica, lo cual significa que además de seleccionar un hidrófobo específico, se debe seleccionar la cantidad de óxido de etileno adicionada, la cual debe ser conocida y ajustarse a la aplicación encondada al hidrófobo seleccionado.

Existen varios métodos para encontrar cuantitativamente el óxido de etileno, (51) pero llevan demasiado tiempo para su determinación y además carecen de presición. Dentro de éstos métodos tenemos el de la degradación del agente no iónico con HBr ó HI, pero no son aplicables cuando se trata de un derivado que contenga un grupo amina ó un grupo mercaptano (52).

En cambio la RMN ofrece un método cuantitativo conveniente para su determinación, tanto de su estructura como de su composición, las ventajas de éste método es que no es destructivo y es relativamente rápido, además por medio de él se pueden estudiar y determinar muestras relativamente pequeñas, así como muestras que sean mezclas de homólogos.

La exactitud de este método depende de ciertos factores, los cuales deben de tomarse en cuenta, como son la naturación, homogeneidad del campo, etc.

En el caso del óxido de etileno condensado con alquil fenoles ~~encontramos~~ quizás el ejemplo más sorprendente acerca de la información que puede obtenerse por este método, en la figura (27), podemos observar el espectro de RMN correspondiente a un típico detergente comercial, el cual pertenece al grupo antes mencionado. En él existen tres grupos de líneas separadas, además de la correspondiente al TMS, que aparece a 10.0 tau.

El grupo que se encuentra en lo más bajo del campo (3.0), tau, es característico de los protones que se encuentran directamente unidos a un núcleo aromático. El grupo intermedio (6.1 tau), corresponde a los protones pertenecientes al óxido de etileno, más el protón oxídrílico terminal, el grupo localizado a campo más alto corresponde a los protones de la cadena alquólica.

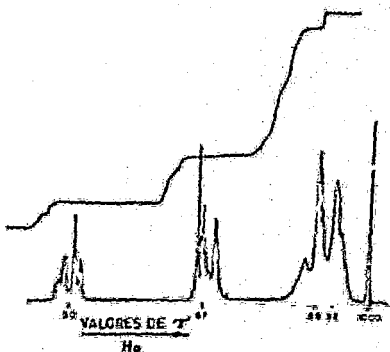


Figura 27. Espectro de RMN e integral de un condensado de un alquil fenol y óxido de etileno.

Para calcular el número de protones en cada lado de la cadena es fácil, ya que tenemos arriba de cada pico su integral y por medio de ésta podemos hacerlo tomando en cuenta los cuatro protones aromáticos que son característicos.

La estructura de la señal del protón aromático nos indica que la sustitución es para y que la estructura para la señal de la cadena alquilica presenta un alto grado de ramificación. Haciendo la comparación con algunos estándares, podemos indicar que originalmente era un grupo polipropilo. La Tabla XXVI nos muestra los resultados obtenidos de diferentes fenoles alquilicos etoxilados, obteniéndose en la mayoría de los casos concordancia de los valores aquí obtenidos con los proporcionados por los fabricantes.

Tabla XXVI. Condensados de fenoles alquilicos.

Muestra	Cadena alquilica PPM	C_6H_5 (unidades) PPM
AP - 1	9.4 ± 0.2 ¹	1.57 ± 0.5 ¹
AP - 3	9.4 ± 0.3 ¹	9.6 ± 0.3 ¹
AP - 4	8.3 ± 0.3 ¹	9.6 ± 0.3 ¹
AP - 5	11.9 ± 0.7 ¹	6.2 ± 0.3 ¹

¹ Desv. estandar.

En el caso de los fenoles alquilicos condensados con óxido de etileno, tenemos que se presenta el caso en donde el promedio del peso molecular absoluto de cada porción de la molécula se puede determinar directamente, pero no sucede lo mismo en todos los casos estudiados.

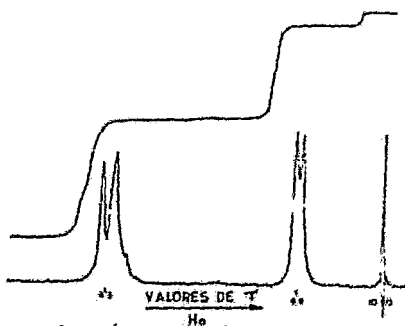


Figura 28. Espectro de RMN e integral de un polímero de óxido de etileno - óxido de propileno.

En la figura (28) tenemos el espectro de RMN perteneciente a un polímero de óxido de etileno - óxido de propileno, en el cual la señal alrededor de 6.5 tau corresponde a los protones pertenecientes a los átomos de carbono que se encuentran unidos al oxígeno, la señal en 8.9 tau corresponde a los protones de los grupos metilo unidos al óxido de propileno.

Sin embargo no se puede asignar un número definitivo de protones a cada una de esas señales, por lo tanto - se debe determinar la proporción de óxido de propileno con relación a las unidades de óxido de etileno.

En la Tabla XIVII tenemos los resultados de la cuantificación de esta relación (en términos de % de peso), calculada en una serie de polímeros de óxido de etileno - óxido de propileno.

Tabla XXVII. Polímeros de óxido de etileno - óxido de propileno.

Muestra	% en peso de $\text{C}_2\text{H}_4\text{O}$
EPO - 1	13.2 \pm 0.6 ¹
EPO - 2	28.6 \pm 0.7 ¹
EPO - 3	39.5 \pm 0.6 ¹

¹ Desv. Est.

En dos de los tres casos estudiados, hay una marcada discrepancia entre los datos obtenidos experimentalmente y los proporcionados por los fabricantes, sin embargo si se combinan los datos de EPM con los datos de manufactura, los resultados son favorables en cuanto al peso molecular del producto final y el peso molecular para el poli- óxido de propileno.

Otro problema del cual no se tenía referencia, fue el que se presentó con el alcohol etoxilado, cuyo espectro se muestra en la figura (29). En éste caso la señal correspondiente al grupo $\text{O}-\text{CH}_2$ del alcohol, cae directamente bajo la señal de las unidades de óxido de etileno, por lo tanto todo lo que se pudo hacer fue determinar la relación que existe de porciones hidrófobas a hidrófilas de la molécula.

Se pensó en usar la resonancia del grupo CH_3 como referencia, pero no estaba suficientemente resuelta la señal del grupo CH_2 , y además se deseaba conocer algo acerca de las ramificaciones en el alcohol.

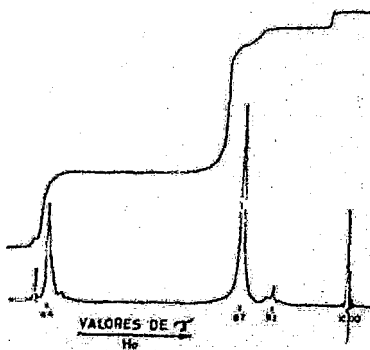


Figura 29. Espectro de RMN e integral de un alcohol etoxilado.

Además de los compuestos antes mencionados, se examinaron algunos otros tipos de detergentes no iónicos menos importantes (Tabla - XIVIII), todos representan casos en los cuales se puede determinar un peso molecular absoluto y en cada caso se obtuvieron valores razonables.

Tabla XIVIII. Condensados de óxido de etileno.

Muestra	Hidrófobo	Unidades O.E.
EO - 1	Ácido oleico	6.1 ± 0.1 ^a
EO - 2	Áceto ácido	13.2 ± 0.4 ^a
EO - 3	Alcohol oleico	17.8 ± 0.3 ^a
EO - 4	Oleomida	8.6 ± 0.3 ^a
EO - 5	Merceptano	6.8 ± 0.2 ^a

^a Desv. est.

Todos los compuestos resumidos en la Tabla XXVIII tienen una base de referencia como se muestra en la figura (30) correspondiente al mercapto - etoxilato.

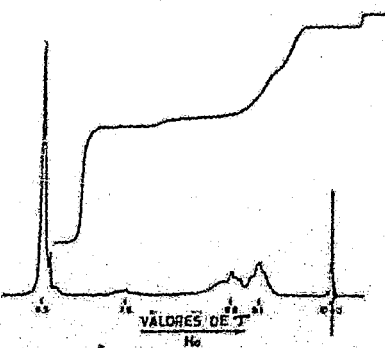


Figura 30. Espectro de RMN e integral de mercapto - etoxilato.

En el espectro anterior, la señal de los protones S - CH₂-C (7.5 tau), es un poco confusa, pero la integral se puede usar como estándar para determinar como se encuentran muchos protones en el resto de la molécula. Los autores debían decidir si se trataba de un grupo S - CH₂-C ó de uno S - CH - C, pero solo uno de ellos dio resultados razonables.

Como era de esperarse el método está sujeto a interferencias, al agua normalmente no interfiere como se muestra en la Tabla XXXIX , otro factor de interferencia sería el poli- óxido de stíleno, en cuyo caso la interferencia no es fácilmente detectable. Generalmente no hubo necesidad de aislar los componentes no iónicos de los detergentes comerciales, aunque hubo pequeña interf.

rencia.

Tabla XXXIX. Precisión y exactitud de la determinación de óxido de etileno por RMN.

Muestra	Hidrófobo		O.E. (unidades)
		Por peso	Por RMN
GRP-1278-12	Alcohol ALFOL 1214	1.02	1.12 ± 0.04*
GRP-1278-16	Alcohol ALFOL 1214	2.26	2.40 ± 0.04*
HWL-1217-85**	Alcohol ALFOL 1214	2.97	2.83 ± 0.04*
GRP-1278-13	Alcohol ALFOL 1214	4.18	3.97 ± 0.08*
Adusto tetra- etilen glicol	Dodecanol	2.00	2.06 ± 0.06*

** 50.7 % nótivo en agua. La muestra examinada consiste de partes iguales de ésta mezcla y CCl₄.

* Desv. est.

En otro trabajo interesante Kazuo Konishi y colaboradores (53), realizaron una determinación cuantitativa de monoésteres de 1,2 - propanodiol, pertenecientes a los ácidos grasos de cadena larga, y por medio de la RMN de fluor.

Dichos ésteres se han usado como agentes de actividad superficial para mejorar las propiedades espumosas de los aceites comestibles, éstos monoésteres de 1,2 propanodiol se preparan generalmente como una mezcla de 1,2 monoésteres acompañados de una pequeña cantidad del diéster.

Brandner (54) ha reportado que la proporción de equilibrio de los monoésteres 1 y 2, depende de la temperatura, y un pequeño cambio en ésta causa una diferencia en su composición.

Recientemente se ha reportado también la caracterización de alcoholes por medio de sus derivados trifluoroacetilados (55)(56), las ventajas que presenta éste método son: en primer lugar que los desplazamientos químicos del fluor son en general más grandes que los de otros protones, pero dentro de una

magnitud aceptable, en segundo lugar se pueden observar las señales de los tres núcleos de fluor en lugar de un protón del alcohol.

En el caso de los monoésteres de 1,2 propanodiol, tienen solamente un grupo oxídrilo en la molécula. El monoéster -1 tiene un grupo oxídrílico secundario, y el monoéster 2, uno primario. Para éste tipo de grupos oxídrilo, en el presente trabajo describimos una ampliación del método antes mencionado (55, 56) con aplicación cuantitativa para monoésteres 1,2 de ácidos grasos de cadena larga por resonancia magnética de fluor.

En la figura (31), podemos observar el espectro de resonancia magnética de fluor de los derivados trifluoroacetylados de los monoestearatos 1 y 2. Las señales asignadas en la figura (31) se derivaron del uso de estándar de monoestearato 1,2, el cual fue purificado por cromatografía de elución y fue identificado por espectrometría de infrarojo.

Las señales que aparecen a bajo campo fueron asignadas a los derivados trifluoroacetylados de los monoésteres en la posición 2, y las señales localizadas a campo alto fueron asignadas a los derivados trifluoroacetylados en posición 1. Estas señales se usaron para la determinación cuantitativa de ambos componentes.

Se sacó el promedio de la altura de las señales y se calculó el porcentaje del monoestearato-2. Los resultados de ésta determinación se encuentran en la Tabla III.

En el análisis por resonancia magnética de fluor, se usaron dos tipos de muestras, una de ellas purificada por cromatografía de elución y la otra no, de los datos obtenidos para las dos muestras, podemos concluir que el proceso de purificación

por cromatografía no es necesario, con lo cual se ve simplificado el método, pues no obstante que exista una pequeña cantidad de ésteres y ácidos grasos libres en la muestra, éstas no interfieren en el análisis.

15.3 CICLOS



Figura 31. Espectro de RMN de F^{19} (56.4 Mc) de los derivados trifluoroacetilados de monoesteratos 1,2.

Tabla XXX. Análisis cuantitativo de monoesterato 2, en mezclas de monoesteratos 1,2.

Muestra	F^{19} % en RMN Purif.	F^{19} % en RMN Impurif.	Cromatografía de elución.
1	33.6	33.7	34.1
2	32.2	33.5	34.6
3	28.5	28.5	28.9
4	30.6	31.0	30.3
5	32.6	31.7	34.7

En este método hay que tener la precaución de que la muestra de monoestearatos 1, 2 no sea isomérica durante el proceso de trifluorocetilación, ésto se puede saber por medio del análisis de cada monoestearato por separado.

Después de analizar los resultados obtenidos, podemos dar la proporción de equilibrio de los monoestearatos 1,2 en los productos comerciales, siendo ésta de 2:1.

El método aquí empleado da resultados aceptables, no obstante que el cálculo cuantitativo se hizo tomando en cuenta la elevación de los picos en lugar de las integrales correspondientes.

En el campo de la petroquímica, D.E. Wetmore y colaboradores (57) hicieron un estudio sobre las fracciones de bajo peso molecular de tres asfaltos, con el objeto de determinar las diferencias existentes entre ellos.

Otros investigadores integraron las porciones adecuadas de los espectros obtenidos por RM para determinar la cantidad de protones aromáticos presentes, protones con respecto a núcleos aromáticos, protones nafténicos, protones metilénicos alifáticos y protones metílicos que no son a δ b con respecto a sistemas aromáticos.

Para poder obtener resultados lógicos, después de llevar a cabo la división de cada área por medio de la amplificación del espectro correspondiente de cada uno de ellos, las áreas fueron corregidas a una concentración del 100 % de la fracción y después dividida entre la absorción protónica total para dicha fracción.

Uno de los más recientes trabajos publicados, es el perteneciente a G.A. Ward y colaboradores (58), el cual se refiere a mezclas de peróxidos orgánicos, hidroperóxidos y alcoholes, y su determinación en forma cuantitativa por medio de la RMN.

En la Tabla XXXI se muestra una lista de los desplazamientos químicos de los protones β -CH con respecto al grupo -OOR o -OH, con los que se ha encontrado que dan señales más adecuadas para efectuar el análisis cuantitativo en algunos peróxidos, hidroperóxidos y alcoholes, de los cuales no habían sido reportados antes.

Tabla XXXI. Desplazamientos químicos de los protones β , con respecto a los grupos -OOR, -OOH, -OH.

R	(Desplazamiento químico de los protones indicados en Hz contra TMS)	ROOR	ROOH	ROH
$(CH_3)_3C-$		73.0	76.3	75.2
	—	—	91.8	87.8
$(CH_3)_2CH-$		—	94.0	92.0
	—	—	—	—

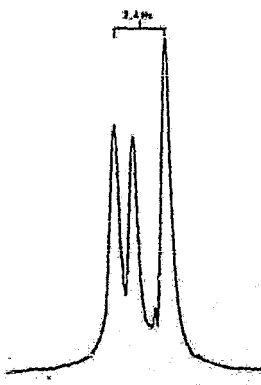


Figura 32. Espectro de RMN de los protones metílicos de (izq. a der.) α,α -dimetil benzil peróxido, hidroperóxido y alcohol en acetona.

Aunque los picos no se presentan bien resueltos en el espectro, la altura de los mismos y su área, se pueden medir frecuentemente con relativa facilidad.

En la figura (32) tenemos el espectro de una mezcla de hidroperóxido, alcohol y peróxido terbutílico, aquí la resolución es adecuada para la determinación cuantitativa de la altura de los picos ó del área de los mismos.

Como una aplicación cuantitativa típica del método, se llevó a cabo un experimento para determinar la exactitud y la precisión que se puede obtener en dichas determinaciones por medio de los picos obtenidos del espectro y los cuales se encuentran estrechamente cerca

nos para sistemas de peróxidos con protones B.

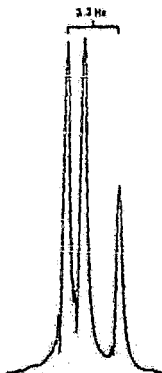


Figura 33. Espectro de RMN de (izq. a der.) hidroperóxido, alcohol y peróxido t - butílico.

Para llevar a cabo éste estudio, se prepararon mezclas de hidroperóxidos terbutílico y alcohol terbutílico en dioxano (Fig. 34).

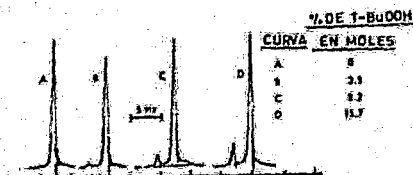


Figura 34. Espectro de RMN de mezclas de peróxido + hi-hidroperóxido t-butílico.

Aunque el área de los picos puede medirse con un planímetro, se encontró que también se podían obtener resultados satisfactorios usando la altura de los picos obtenidos como una medida para determinar las concentraciones relativas de los compuestos, éste fue el procedimiento usado, aunque presenta el inconveniente de que solamente es aplicable cuando los picos obtenidos son singuletes bien definidos y con una amplitud de línea constante.

Los resultados obtenidos después de varias determinaciones, para diferentes mezclas, se encuentran resumidos en las Tablas XXXIII y XXXIV.

Tabla XXXIII. Desplazamientos químicos de los protones en hidroperóxidos y alcoholes.

R	ROOH	ROH
$\text{CH}_3-\text{CH}_2-\text{CH}_2-$	176	152
$\text{CH}_3-(\text{CH}_2)_2 \text{CH}_2-$	176	155
$\text{CH}_3-(\text{CH}_2)_6 \text{CH}_2-$	176	—
$\text{CH}_3-(\text{CH}_2)_7 \text{CH}_2-$	—	155
$\begin{matrix} \text{CH}_3 & \text{CH}-\text{CH}_2- \\ & \\ \text{CH}_3 & \end{matrix}$	169	146

Tabla XXXIV. Análisis cuantitativo de mezclas de alcohol t-butílico e hidroperóxido t-butílico en dioxano.

% Teórico de alcohol	% Encontrado
25.0	24.3 25.6 prom. 25.2 24.7 25.8 dif. 0.6 25.4
50.0	50.7 50.8 prom. 50.8 51.0 50.8 50.8
75.0	71.7 71.5 prom. 72.4 73.2 72.7 73.0
90.0	88.6 87.4 prom. 88.2 87.8 88.3 88.9

Haciendo una comparación con los datos para la composición conocida de la mezcla y los resultados obtenidos, encontramos que éstos concuerdan, y que además existe precisión en ellos, no obstante que los picos se encontraban muy cerca unos de otros.

También se hicieron estudios con otras mezclas de peróxidos similares, encontrando que los resultados son buenos para aquellas muestras en las cuales los picos de RMN se encuentran separados por 0.8 Hz o más.

Se encontró también que el límite más bajo de concentración es de 2-3%, dando un pico aceptable.

De acuerdo con los datos obtenidos, podemos concluir que este método es exacto y rápido para determinaciones cuantitativas, aún cuando los disolventes usados en su determinación sean diferentes.

CONCLUSIONES :

Del estudio realizado, podemos concluir que el uso de la RMN como un método analítico cuantitativo es muy útil en la determinación de componentes de mezclas de compuestos, proporcionándonos datos exactos y precisos que nos hacen aceptarlo como un método confiable, además tiene la ventaja de ser sumamente específico en los resultados que proporciona en cuanto a señales en el espectro y en cuanto al valor numérico.

Presenta la ventaja también de que para su realización no es necesario tener una cantidad de muestra relativamente grande como se necesitaría para la aplicación de otro método, ya que la muestra es recuperable.

Para obtener buenos resultados y evitar en la mayor parte posible el error del mismo, es necesario tomar en cuenta factores que ya se han citado en algunos experimentos, pero que podemos generalizar, y que son: la solución de la muestra por analizar en forma homogénea, evitar la saturación por radio frecuencia dependiendo del compuesto en estudio.

Una vez tomados éstos y otros errores posibles que pudiesen surgir, podemos estar seguros de que el método dará muy buenos resultados como lo hemos podido observar.

Debido a ésto es su aceptación cada día mayor tanto en el campo de química industrial, farmacéutica, de investigación, etc.

BIBLIOGRAFIA :

1. Jackman, L.M., Applications of NMR in Organic Chemistry, Pergamon Press, New York (1959).
2. Bhacca, N.S., y Williams, D.H., Applications of NMR in Organic Chemistry, Holden Day Inc., San Francisco (1964).
3. Nathan, P.J., y Dinx, E., Introducción a la RMN, Limusa - Wiley, México, 1970.
4. Silverstein, R.M., y Bassler, G.C., Spectrometric Identification of Organic Compounds, John Wiley & Sons, Inc., New York (1967).
5. Matheson, D.W., Nuclear Magnetic Resonance for Organic Chemists, Academic Press, Inc., Londres (1967).
6. Roberts, J.D., Nuclear Magnetic Resonance Applications to Organic Chemistry, Mc Graw Hill Book Co. Inc., N.Y. (1959).
7. Dyre, J.R., Applications of Absorption Spectroscopy of Organic Compounds, Pentice-Hall, Inc., Englewood Cliffs, N.J. (1965).
8. Chen, H.Y., Anal. Chem., 34, 1134 (1962).
9. Bovey, F.A., et al, J. Polymer Sci., 38, 73 (1959).
10. Reilly, C.A., Anal. Chem., 32, 2118 (1960).
11. Varian Associates, Instrument, Div., Instruction Manual, V-3521 NMR Integrator, Publ. 87-100-029.
12. Varian Assoc., NMR and EPR Spectroscopy, chap. 8, Pergamon Press New York (1960).
13. Williams, R.B., Ann. N.Y. Acad. Sci. 70, 890 (1958).
14. Chen, H.Y., Anal. Chem., 34, 1793 (1962).
15. Chen H.Y., Anal. Chem., 36, 1394 (1964).

16. Porter, H.S., Nakae, S.W., Johnson, J.F., Anal. Chem., 35, 1948 (1963).
17. Carlson, D.W., y Altenau, A.G., Anal. Chem., 41, 969 (1969).
18. Mochel, V.D., Rubber, Chem. Technol., 40, 1200 (1967).
19. Spragg, R.A., Instruments News, 21, 7 (1970).
20. Hirat, R.C., et al, J. Polymer Sci., A 3, 2091 (1965).
21. Yoshikawa, T., Kumanotani, J., Makromol. Chem., 131, 273 (1970).
22. Woodbrey, J.O., Higginbottom, H.P., Culbertson, H.M., Polymer Sci., A 3, 1079 (1965).
23. Brockmann, W., Brockmann, H., Budzikiewicz, H., Kautsch und Gummi, 21, 679 (1968).
24. Manjarrez, A., et al, Chem. and Inds., 81, 1965.
25. Barcza, S.J., Org. Chem., 28, 1914 (1963).
26. Manjarrez, A., Foster, L., y Nathan, P.J., Rev. Soc. Quim. Mex., XII, 171 (1967).
27. Nathan, P.J., Manjarrez, A., et al, Rev. Soc. Quim. Mex. XII 9 A (1968).
28. Jungnickel, J.L., Y Forbes, J.W., Anal. Chem., 35, 938 (1963).
29. Reilly, C.A., Anal. Chem., 30, 839 (1958).
30. Paulsen, J.P., Cooke, W.D., Anal. Chem., 36, 1713 (1964).
31. Paulsen, J.P., Cooke, W.D., Anal. Chem., 36, 1721, (1964).
32. Pope, J.A., Schneider, W.C., Bernstein, H.J., High Resolution NMR, p. 218, Mc Graw Hill, New York (1959).

33. Hollis, D.P., Anal Chem., 35, 1682 (1963).
34. Nathan, P.J., Manjarrez, A., Rev. Soc. Quim. Mex., XII, 4 (1967).
35. Simonsen, J.L. y Owen, L.W., The Terpenes, Cambridge University Press, Vol. I, 83 (1953).
36. Venuto, P.B., y Day, A.R., J.Org. Chem., 29, 2735 (1964).
37. Koch, S.A., y Doyle, T.D., Anal. Chem., 39, 1273 (1967).
38. Gutowsky, H.S., y Saika, A., J. Chem. Phys., 21, 1688 (1953).
39. Masuda, Y., y Kanda, T., J. Phys. Soc., Japan, 8, 432 (1953).
40. Hood, G.C., et al., J. Chem. Phys., 22, 2067 (1954).
41. Grunwald, E., et al., J. Chem. Phys., 27, 641 (1957).
42. Craig, R.A., y Richards, R.E., Trans. Faraday Soc., 59, 1962 (1963).
43. Buckson, R.L., Smith, S.G., J. Phys. Chem., 68, 1875 (1964).
44. Akitt, J. W., et al., Chem. Commun., 15, 349 (1965).
45. Read, J. M., Godstein, J.H., J. Am. Chem. Soc., 87, 3440 (1965).
46. Ebsworth, E. U.A., y Sheppard, N., Spectrochim. Acta., 13, 261 (1959).
47. Gonzales, Ma. F., y Nathan, P.J., Rev. Soc. Quim. Mex., XIII, 261 a (1968).
48. Djerassi, C., (Ed.) Steroid Reactions, An outline for Organic Chemist 267, Holden Day, San Francisco (1963).
49. Johnson, L. I., Shoolery, J. N., Anal. Chem., 34, 1136 (1962).
- 49.1 Rodríguez, S.A.M., Tesis para Maestría, Fac. Quim. UNAM, 1971.
50. Flanagan, P.W., Greff, R.A., y Smith, H.F., Anal. Chem., 35, 128 (1963).
51. Snitler, P., Am. Soc., Testing Materials, Bull. 190, 5-3 (1953).
52. Siggia, S., et al., Anal. Chem., 30, 115 (1958).

53. Konishi, K., y Kanoh, Y., Anal. Chem., 40, 1881 (1968).
54. Bradner, J.D., y Birkmeier, R.L., J. Am. Oil Chemist's Soc. 41, 367 (1964).
55. Manatt, S.L., J. Am. Chem. Soc., 88, 1323 (1966).
56. Manatt, S.L., Anal. Chem., 38, 1063 (1966).
57. Wetmore, D.E., et al., Anal. Chem., 35, 225 (1966).
58. Ward, G.A., Anal. Chem., y Hair, D.R., 41, 538 (1969).